

171621.784

République Algérienne Démocratique et Populaire
Ministère de l'Enseignement Supérieur et de la Recherche Scientifique
Université 8Mai 1945 – Guelma
Faculté des Sciences et de la Technologie
Département d'Electronique et Télécommunications



**Mémoire de Fin d'Etude
pour l'obtention du Diplôme de Master Académique**

Domaine : Sciences et Techniques
Filière : Electronique
Spécialité : Systèmes Electroniques

**Organisation d'un service de prestation par
une commande à base d'un PIC**

Présenté par :

Benyahia Ali
Maradji Hani

Sous la direction de :

Pr .M.S. Boumaza

JUIN 2013

Remerciement :

*Mes remerciements vont tout premièrement a dieu
tous puissant, pour la volonté et la santé et la patience
qu'il ma donné.*

13/2948

*Ainsi, je dois remercier infiniment mon encadreur
Monsieur boumaza mouhamed sghir pour les précieux
conseils, son soutien son suivi continu dans la
réalisation de ce mémoire avec la compétence, que
chacun de nous lui reconnaissant.*

*Toute personne qui a été disponible pour me
soutenir matériellement ou normalement et
profondément remerciée.*



Dédicace

*Merci Allah (mon dieu) de m'avoir donné la capacité d'écrire
et de réfléchir, la
force d'y croire, la patience d'aller jusqu'au bout du rêve et le
bonheur*

*de lever mes mains vers le ciel et de dire
" Ya Kayoum "*

*Je dédie ce modeste travail à celle qui m'a donné la vie, le
symbole de tendresse, qui s'est sacrifiée pour mon bonheur et
ma réussite, à ma mère ...*

*A mon père, école de mon enfance, qui a été mon ombre
durant
toutes les années des études, et qui a veillé tout au long de ma
vie*

à m'encourager, à me donner l'aide et à me protéger.

Que dieu les gardes et les protège.

A mes adorables sœurs «MERIEM»

A mes frères «DJALEL» et «HAMZA»

A mes amies.

A tous ceux qui me sont chères.

A tous ceux qui m'aiment.

A tous ceux que j'aime.

Je dédie ce travail.

"Ali Ben Yahia"



Dédicace

*Ce mémoire est dédiée à mon père et ma mère pour
l'éducation*

*qu'ils ont su me donner et qui m'a permis
avec la grâce de Dieu d'arriver là où je suis.*

A mes frères et sœurs

A toute la famille

A tous mes amis spécialement pour Ali



Meradji Hami

Sommaire

TABLE DES MATIERES

introduction gènèral.....	1.2
---------------------------	-----

CHAPITRE 1 : DEFINITION DE CAHIER DE CHARGE

Introduction.....	3
2- Cahier de charge	4
3- Définition File d'attente	5
2- L'objectif de Gestion des Files d'Attentes.....	5
4- Présentation de notre projet.....	6
5-schéma synoptique	6
3- les systèmes existants	7
3.1- file d'attente avec un afficheur LED.....	7
3.2- commande de la gestion dans un service d'attente équipé par un distributeur de ticket à l'aide d'un PC	7
3.3- la gestion de service dans une salle d'attente équipée d'un distributeur automatique de tickets.....	8
3.4- Systèmes ALPROS	8
3.4.1- le K211	9
3.4.2- le K418	9
5- Le choix d'un microcontrôleur pic 16f877.....	10
6- les avantages du microcontrôleur	11
Conclusion	12

CHAPITRE 2 : ETUDE et CHOIX DU MATERIEL

1- Le Microcontrôleur.....	13
1.1- Généralités sur le microcontrôleur.....	13
1.2- Caractéristiques principales d'un microcontrôleur.....	13.14
1.4- Identification des Pics	14
2- Le PIC 16F877.....	15
2.1- Principales caractéristiques du PIC 16F877.....	15.16

3- Les Mémoires du PIC 16F877	16
3.1- Mémoire vive RAM.....	16.17
3.2- Mémoire morte FLASH	17
3.3- Mémoire EEPROM.....	18
4- L' Horloge	18
5- Timers.....	19
5.1-Timer 0 (8 bits)	19
5.2-Timer 1 (16 bits)	19
5.3-Timer 2 (8 bits)	19
6- Pile et Compteur Programme.....	19
7- Chien de garde (Watch Dog).....	19
8- Organisation externe du PIC 16F877	20
8.1-Ports d'entrées/sortie.....	20.21
9- Mise en œuvre d'un afficheur L C D	21
9.1-Présentation de l'afficheur LCD.....	21
9.2-Le brochage de l'afficheur	22
9.3-Les caractères affichables.....	23.24
9.4-Principales instructions	24.25.26.27
9.5-Connexion de l'afficheur sur la carte.....	28
10- Programmation du pic	28
10.1-Le flowcode	28.29.30
Conclusion	30

CHAPITRE 3 Simulation et réalisation pratique

Introduction.....	31
1- Les particularités électriques	31
1.1-Alimentation stabilisée et continu	31.32
1.2-Connexion avec l'horloge à quartz	32
2- Organigramme	32.33
3- Schéma de fonctionnement.....	34
4- Simulation	35
4.1- Logiciel de Simulation	35
4.2- Ares	35
5- Réalisation pratique.....	36.37.38
Conclusion	38
Conclusion générale	39

Table de figure

Figure (1) : la salle d'attente.....	4
Figure (2) : une file d'attente.....	5
Figure (3) : Schéma synoptique.....	6
Figure (4) : afficheur LED avec 2 chiffres	7
Figure(5) : lek211	9
Figure (6) : le k 418	10
Figure (7) : le pic 16f877	11
Figure (8) : le microcontrôleur	13
Figure (9) : architecture simplifiée de microcontrôleur.....	14
Figure (10) : le pic 16f77	15
Figure (11) : structure interne du PIC.....	16
Figure (12) : Mémoire RAM	17
Figure (13) : Schéma de l'horloge.....	18
Figure (14) : Brochage du PIC 16F877	20
Figure (15) : les ports d'Entrées/sorties du pic 16F877.....	21
Figure (16) : photo d'un afficheur LCD	22
Figure (17) : Brochage d'un afficheur à cristaux liquides 2X16 Caractères.....	22
Tableau (1) : Brochage d'un afficheur	22
Tableau (2) : les caractères affichables.....	24
Tableau (3) : Le jeu de commandes standard	25.26.27
Figure (18) : montage de l'afficheur LCD avec le PIC	28
Figure (19) : Logiciel flowcode.....	29
Figure(20) : Schéma synoptique d'une chain de conversion alternatif- continu	32
Figure (21) : Brochage du circuit d'oscillation.....	32
Figure(22) : l'organigramme	33
Figure (23) : schéma de fonctionnement	34
Figure (24) : L'ogiciel de simulation isis	35
Figure (25) : Simulation par isis	36
Figure (26) : circuit imprimé	37

Introduction Générale

Introduction

Les files d'attentes sont un phénomène récurrent dans les sociétés développées. L'afflux de personnes peut être géré de différentes manières. En général, on fait attendre les personnes selon leur ordre d'arrivée sur un chemin défini au préalable et balisé (file d'attente au cinéma). Ce chemin peut être une ligne droite, d'où l'appellation file d'attente. Toutefois ce modèle atteint des limites en termes d'espace. Pour occuper plus rationnellement l'espace, la file d'attente peut suivre un tracé en serpentif (file d'attente aux services des douanes des grands aéroports).

Les files d'attentes peuvent aussi ne pas ordonner les individus dans l'espace, mais instaurer un ordre par le biais de tickets numérotés. Ce peut être le cas dans la salle d'attente d'un service public (bureaux de poste, sécurité sociale).

Généralement, il est mal perçu de dépasser sa place ou d'introduire dans la file quelqu'un n'ayant pas attendu à ses côtés pour lui faire économiser un temps d'attente. En effet, un tel acte (le resquillage) suscite de la part des autres individus dans la file un sentiment d'injustice, rendant l'attente inutile puisqu'il suffirait de prendre la place des autres pour progresser. D'un point de vue économique, la place acquise peut devenir monnayable en proportion de sa valeur inhérente au temps économisé par son achat. Toutefois de telles marchandisations restent exceptionnelles.

Introduction

L'étude de notre projet présente une de plusieurs moyens d'organisation des services il consiste à réalisé un système de communication de la gestion des services dans une salle d'attente (bureaux de poste, sécurité sociale) équipée d'un distributeur de tickets à base d'un microcontrôleur.

Pour cela nous avons utilisé deux principaux composants :

- Le microcontrôleur pic16f877 : le composant de base qui gère l'Afficheur
- l'Afficheur LCD : pour afficher le numéro de client et le guichet libre.

Notre manuscrit est organisé de la manière suivante :

- ❖ Introduction générale
- ❖ Définition de cahier de charge
- ❖ Généralités sur le matériel utilisé
- ❖ Simulation et réalisation pratique
- ❖ Conclusion générale

Chapitre 1

DEFINITION DE CAHIER DE CHARGE

Chapitre 1

DEFINITION DE CAHIER DE CHARGE

Introduction

En dépit de notre vie moderne, le secteur services demeure un problème de manque d'organisation qu'elle a vécu jusqu'à nos jours la difficulté de s'adapté et d'enlevé la différence entre les citoyens.

Les citoyens présentent une source principale de critique, ils imposent des remarques et des interrogations sur tout tant qu'ils ne sont pas satisfaits des services.

Dans le cadre de l'insatisfaction du client ou du citoyen les responsables des services cherchent à minimiser ou à éviter le maximum possible les problèmes de ce genre existants entre les services et les citoyens. Pour cela, Ils auront recours au domaine électrique qui a vue des progrès technologiques très importants pour trouver une solution.

Chapitre 1

DEFINITION DE CAHIER DE CHARGE

Cahier de charge :

Il s'agit de concevoir et de réaliser un système électronique (à base d'un microcontrôleur) qui permet de faire la gestion de service dans une salle d'attente équipée d'un distributeur automatique de tickets.

La salle dispose de trois guichets donneurs de services. Chaque guichet dispose d'un bouton d'appel de client, et dans la salle il ya et un afficheur LCD qui affiche le numéro du client et le numéro du guichet.

Si l'administrateur du guichet appuie sur le bouton d'appel du client, cette impulsion incrémente le numéro affiché. Ainsi le numéro du client suivant s'affiche sur l'afficheur LCD accompagné par l'affichage du numéro de poste de l'opérateur libre (celui qui actionnait le bouton poussoir).

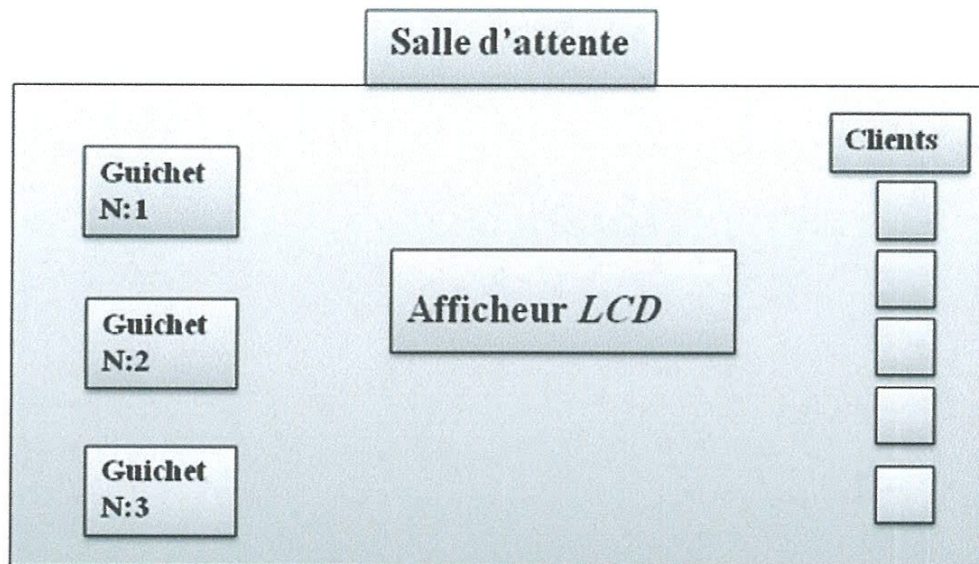


Figure (1) la salle d'attente

Chapitre 1

DEFINITION DE CAHIER DE CHARGE

1- Définition File d'attente

- Une file d'attente, ou une queue, est un regroupement d'individus attendant de manière organisée quelque chose. Les files d'attentes résultent d'une demande supérieure à la capacité d'écoulement d'une offre (un bien ou un service) [1]. En principe, elles n'influent pas sur le coût de cette offre. Sur les routes, les files d'attentes sont appelées des bouchons [2]. Cette notion fait l'objet d'une branche du calcul des probabilités, la Théorie des files d'attentes, utilisée aussi bien en logistique qu'en informatique.
- Citons à titre d'information les différents points traités dans ces articles: Structure et organisation (Principe de fonctionnement), Types de files d'attentes (Limite de fonctionnement[3], Modélisation mathématique, histoire, notes et références).



Figure (2) une file d'attente

2- L'objectif de Gestion des Files d'Attentes

Le premier objectif de tous les systèmes de gestion de files d'attentes est d'offrir un service de meilleure qualité aux clients [3]. Dans le domaine public comme dans le domaine privé, gérer le trafic des personnes est primordial pour le bon fonctionnement de la vie quotidienne de votre entreprise ou administration. Savoir optimiser le temps (pour la société et l'utilisateur) consiste souvent à améliorer la qualité de service.

Chapitre 1

DEFINITION DE CAHIER DE CHARGE

3- Présentation de notre projet

Notre projet est un système de commande de la gestion d'une salle d'attente équipée d'un distributeur de tickets.

Il s'agit de réaliser un prototype de ce système à base d'un microcontrôleur PIC16F877. Cette salle dispose de trois guichets, chacun d'eux est équipé d'un bouton poussoir pour

Incrémenter le numéro de ticket et affiche le numéro de guichet libre (celui qui appuie sur le bouton poussoir) et un afficheur LCD.

3.1- schéma synoptique :

Le schéma synoptique du projet :

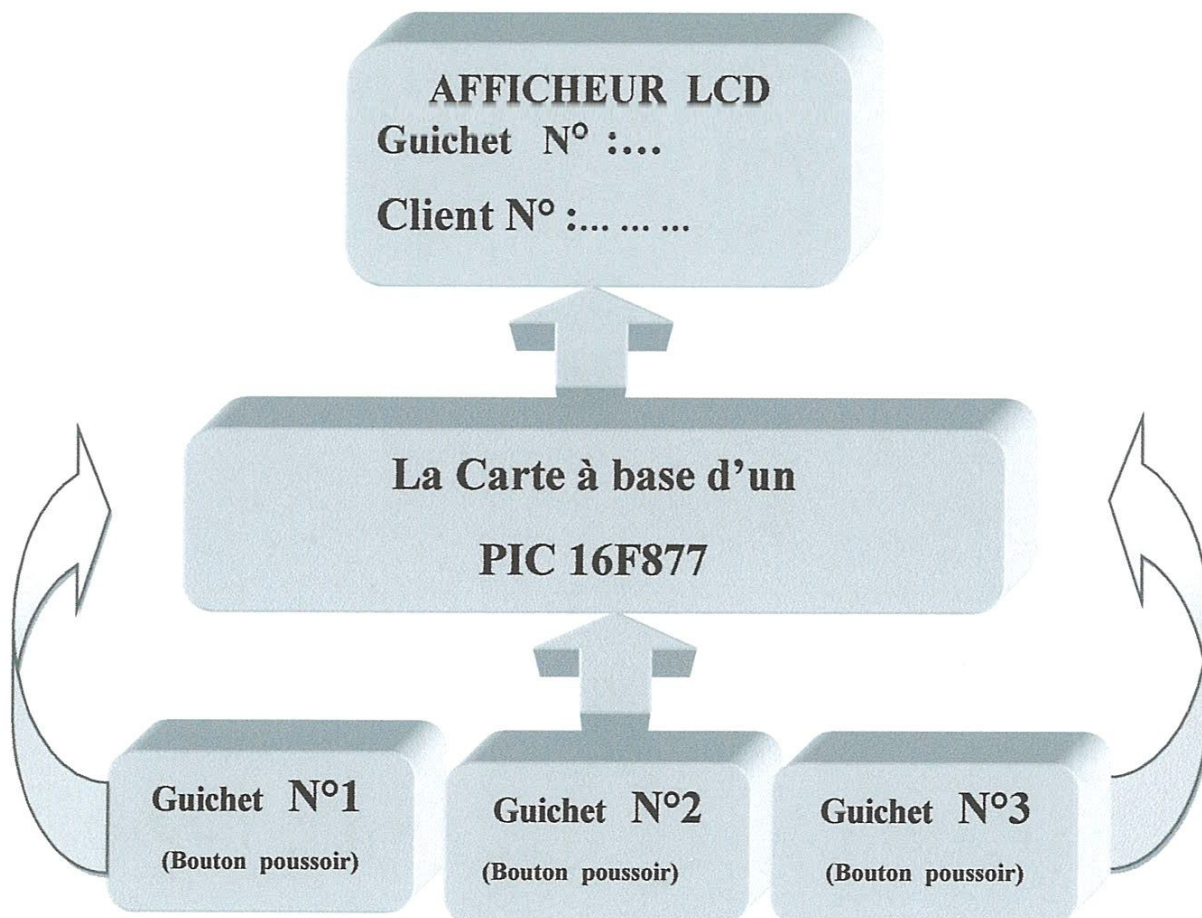


Figure (3) schéma synoptique

Chapitre 1

DEFINITION DE CAHIER DE CHARGE

4- les systèmes existants :

4.1- file d'attente avec un afficheur LED :

Est un système qui gère les files d'attente avec un Afficheur électronique à LED pour l'indication du n° appelé [4]. Esthétique moderne, lisible jusqu'à 60 m sur 150°. Dispose d'un signal sonore (sonal) et d'une fonction n° clignotant. Plusieurs afficheurs peuvent-être reliés les uns aux autres pour indiquer un même numéro sur de grands espaces. Se pilote soit à l'aide d'un pupitre d'appel radio, soit d'un pupitre filaire multifonctions avec clavier numérique. il est disponible avec deux versions 2 chiffres et 3 chiffres.



Figure (4) afficheur LED avec 2 chiffres

Commentaire : Mais ce système fonctionner avec un seul guichet.

4.2- commande de la gestion dans un service d'attente équipé par un distributeur de ticket à l'aide d'un PC:

Il ya un autre système multiservices et statistique fabriqué dans les années passées, c'est une commande de gestion dans un service d'attente équipé par un distributeur de ticket à l'aide d'un PC [5].

- Ce système présente un afficheur principal qui indique par quatre chiffres rouges le rang du client en attente et par deux chiffres verts le numéro du guichet vers lequel le visiteur doit se présenter. Le système peut gérer jusqu'à huit guichets.

Chapitre 1

DEFINITION DE CAHIER DE CHARGE

Devant chaque guichet, un afficheur répétiteur peut rappeler le numéro du client appelé. Une borne distributrice de tickets attribue un numéro à chaque client et le dirige vers le Service souhaité. Le ticket émis peut indiquer le nombre de clients en attente, le nom du service demandé, le logo de l'organisation.

Une console maîtresse permet de configurer le système.

Chaque guichet possède, une console permettant entre autre d'appeler et de rediriger le client. Un écran indique le numéro du ticket.

Le système se complète par un logiciel de configuration et de gestion statistique. Ce logiciel s'installe sur PC équipé de Windows version 98 et supérieur.

Il résulte de ce système unique un gain de temps évident et une gestion optimale des flux de visiteurs.

Commentaire : Mais ce système très compliqué et très cher

4.3- la gestion de service dans une salle d'attente équipée d'un distributeur automatique de tickets:

Est un projet de fin de étude de l'année 2009 le projet et un system Il s'agit de réaliser un prototype de se système à base d'un microcontrôleur et qui dispose de trois guichets chacun équipé de deux boutons poussoirs un pour incrémenter le numéro de ticket et un autre pour la fermeture.

Un tableau d'affichage au centre de la salle indique le numéro de ticket et le guichet qui lui correspond [6] .

Commentaire : Mais ce système est réalisé par plusieurs composants (4 microcontrôleurs et 8 afficheurs 7 segments) avec un numéro de client max de 99.

4.4- Systèmes ALPROS : (Algerian Production Systems)

Il existe deux systèmes de gestion des files d'attentes qui disposent d'une large gamme de produits permettant d'offrir à ses clients des solutions complètes et adaptées fabriqués par ALPROS (Algerian Production Systems) .

Chapitre 1

DEFINITION DE CAHIER DE CHARGE

4.4.1- Le K211

Le K211 est un système de gestion de file d'attente simple [7], facile à installer et à utiliser, il offre plus à son esthétique une bonne lisibilité dans les espaces d'accueil.

Le K211 conçu pour les petits est moyens espaces d'accueil, il gère une seule file d'attente de un, deux ou trois guichets, proposant les mêmes services sans le repérage du guichet appelant.

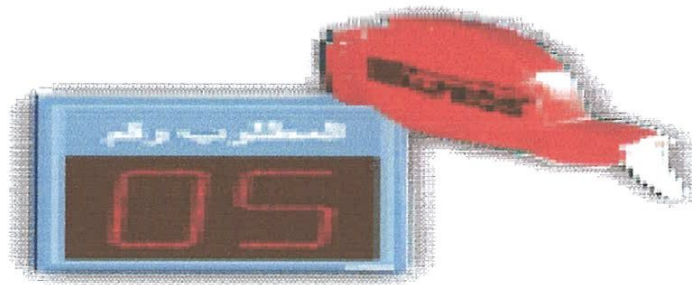


Figure (5) le K211

Etudié, conçu et réalisé dans le but de subvenir à la demande des systèmes intelligents de gestion électronique des files d'attentes.

4.4.2-Le K418

- Le K418 est la meilleur solution existante dans le domaine [8], capable de gérer jusqu'à quinze files d'attentes séparées, chacune son ordre, où chaque guichet offre un service différent, et il peut gérer tout les guichets dans un même ordre, ou même grouper des guichets en plusieurs groupes, où chaque groupe a son ordre et son distributeur de ticket séparé.

Composé d'un panneau d'affichage muni de quatre digits, dont trois pour les numéros d'appel et un pour désigner le guichet appelant et un autre panneau d'un seul chiffre au-dessus pour indiquer le rang de la file d'attente.

Chapitre 1

DEFINITION DE CAHIER DE CHARGE

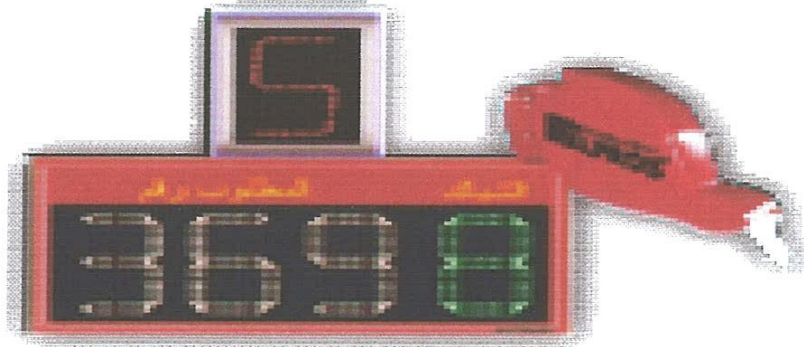


Figure (6) le k 418

Commentaires : les systèmes proposés par ALPROS présentent l'avantage qu'ils soient fabriqués en Algérie, mais comme inconvenants le k211 est conçu pour une file d'attente qui est desservie par plusieurs guichets mais il n'indique pas le numéro du guichet libre. Le deuxième système le k418 gère plusieurs files d'attentes qui sont desservies par plusieurs guichets. Ce type de gestion est destiné à une clientèle instruite et non pas à une clientèle populaire.

5-Le choix d'un microcontrôleur pic 16f877 :

- Le choix du microcontrôleur est primordial car c'est de lui que dépend en grande partie les performances, la taille de la carte mère, la facilité d'utilisation et le prix du montage.

-Le PIC 16F877 possède en plus des instructions très puissantes [1] donc un programme à développer réduit, surtout lorsqu'on utilise le logiciel de programmation [2] en un

Langage qui possède un nombre important de procédures et fonctions prédéfinies, dédié au PIC 16F877. En fait la cause principale du choix de ce type de microcontrôleur est qu'il dispose de l'option du convertisseur A/D pour satisfaire le côté acquisition, aussi la possibilité de l'adaptation au protocole I2C et la liaison RS232 mais aussi le nombre de ports d'entrées /sorties est convenable [3].

Chapitre 1

DEFINITION DE CAHIER DE CHARGE

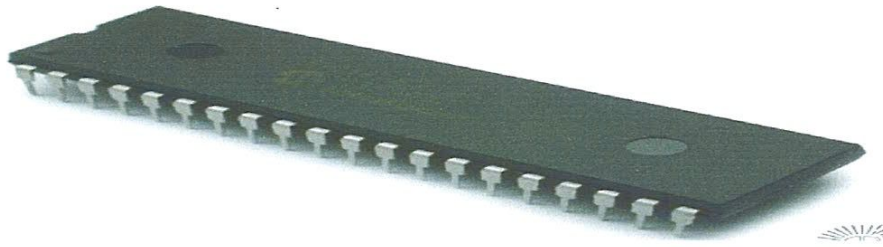


Figure (7) le pic 16f877 [10]

6- les avantages du microcontrôleur [9]

L'utilisation des microcontrôleurs pour les circuits programmables a plusieurs points forts. Il suffit pour s'en persuader, d'examiner la spectaculaire évolution de l'offre des fabricants de circuits intégrés en ce domaine depuis quelques années.

Nous allons voir qu'un nombre d'entre eux proposent.

- ✓ Les performances sont identiques voir supérieures à ses concurrents
- ✓ Les prix sont les plus bas du marché
- ✓ Très utilisés donc disponibles
- ✓ Les outils de développement sont gratuits et téléchargeables sur le WEB
- ✓ Le jeu d'instruction réduit est souple, puissant et facile à maîtriser
- ✓ Les versions avec mémoire flash présentent une souplesse d'utilisation et des Avantages pratiques indéniables
- ✓ La communauté des utilisateurs des PICs est très présente sur le WEB. On trouve sur le net quasiment tout ce dont on a besoin, tutoriaux pour démarrer, documents plus approfondis, schémas de programmeurs avec les logiciels qui vont avec, bibliothèques de routines, forums de discussion.

Chapitre 1

DEFINITION DE CAHIER DE CHARGE

Conclusion :

Dans ce chapitre, nous avons spécifié le cahier de charge et le mode de fonctionnement de notre système et ses caractéristiques. Nous avons donné quelques exemples de systèmes fabriqués auparavant. Comme nous présentons les arguments appuyant notre Choix de microcontrôleur pic 16f877et les avantages qui en découlent.

Chapitre 2

ETUDE ET CHOIX DU MATERIEL

Chapitre 2

ETUDE et CHOIX DU MATERIEL

Introduction

Dans ce chapitre nous présentons une description détaillée de la solution adoptée pour répondre aux spécifications de notre cahier de charge et en abordant la conception détaillée de chaque partie du système afin d'obtenir une schématisation complète et précise.

1-Le microcontrôleur :

1.1-Généralités sur le microcontrôleur

Le PIC n'est rien d'autre qu'un microcontrôleur, c'est à dire une unité de traitement de l'information de type microprocesseur à laquelle est ajouté des périphériques internes permettant de réaliser des montages sans nécessiter d'ajouter des composants externes [10].

- Les Pics sont des composants dits **RISC (Reduce Instruction Construction Set)**, ou encore composants à jeu d'instructions réduit. Pourquoi ? Et bien, sachez que plus on réduit le nombre d'instructions, plus facile et plus rapide en est le décodage, et plus vite le composant fonctionne.

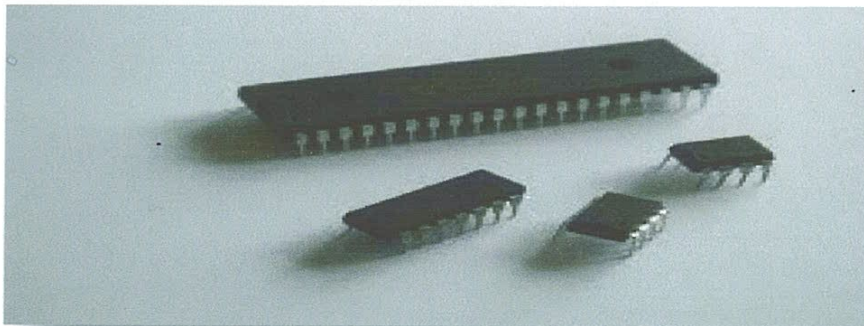


Figure (8) le microcontrôleur

1.2-Caractéristiques principales d'un microcontrôleur [10] :

- ✓ De nombreux périphériques d'E/S.
- ✓ Une mémoire de programme.
- ✓ Une mémoire vive (en général de type SRAM).

Chapitre 2

ETUDE et CHOIX DU MATERIEL

- ✓ Éventuellement une mémoire EEPROM destinée à la sauvegarde par programme des données à la coupure de l'alimentation.
- ✓ Un processeur 8 ou 16 bits.
- ✓ Faible consommation électrique.

Les Pics sont subdivisés à l'heure actuelle en 3 grandes familles :

- La famille Base Line, qui utilise des mots d'instructions de 12 bits.
- La famille Mid-Range, qui utilise des mots de 14 bits (et dont font partie la 16F84 ,16F876 et 16F877).
- La famille High-End, qui utilise des mots de 16 bits.

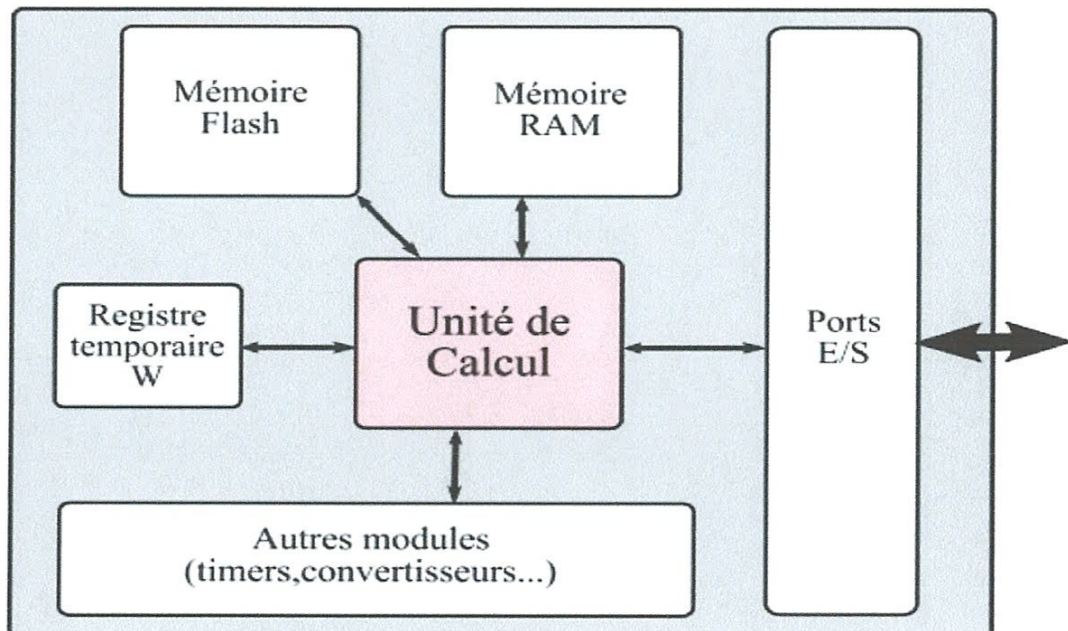


Figure (9) architecture simplifiée de microcontrôleur

1.3- Identification des Pics:

Pour identifier un PIC, on utilise simplement son numéro [10] :

16 : indique la catégorie du PIC, c'est un Mid-range.

L : indique qu'il fonctionne avec une plage de tension beaucoup plus tolérante.

C : indique que la mémoire programme est une EPROM ou une EEPROM.

CR ou F : indique le type de mémoire : CR (ROM) ou F (FLASH).

Chapitre 2

ETUDE et CHOIX DU MATERIEL

XX : représente la fréquence d'horloge maximale que le PIC peut recevoir.

2 -Le PIC 16F877:

Nous allons maintenant s'intéresser à la structure interne [9] du PIC 16F877, avec lequel nous travaillerons.

Le 16F877 est un microcontrôleur de MICROCHIP, fait partie intégrante de la famille des Mid-Range (16) dont la mémoire programme est de type flash (F).



Figure (10) pic16F877

2.1- Principales caractéristiques du PIC 16F877:

Le PIC 16F877 est caractérisé par [9] :

- ✓ Une fréquence de fonctionnement élevée, jusqu'à 20 MHz.
- ✓ Une mémoire vive de 368 octets.
- ✓ Une mémoire EEPROM pour sauver des paramètres de 256 octets.
- ✓ Une mémoire morte de type FLASH de 8 kmots (1mot = 14 bits), elle est réinscriptible à volonté.
- ✓ 33 Entrées et sorties.
- ✓ 3 Temporisateurs : TIMER0 (8 bits avec pré diviseur), TIMER1 (16 bits avec
Pré diviseur avec possibilité d'utiliser une horloge externe réseau RC ou QUARTZ) et TIMER2 (8bits avec pré diviseur et post diviseur).
- ✓ Une tension d'alimentation entre 2 et 5,5 V.

Chapitre 2

ETUDE et CHOIX DU MATERIEL

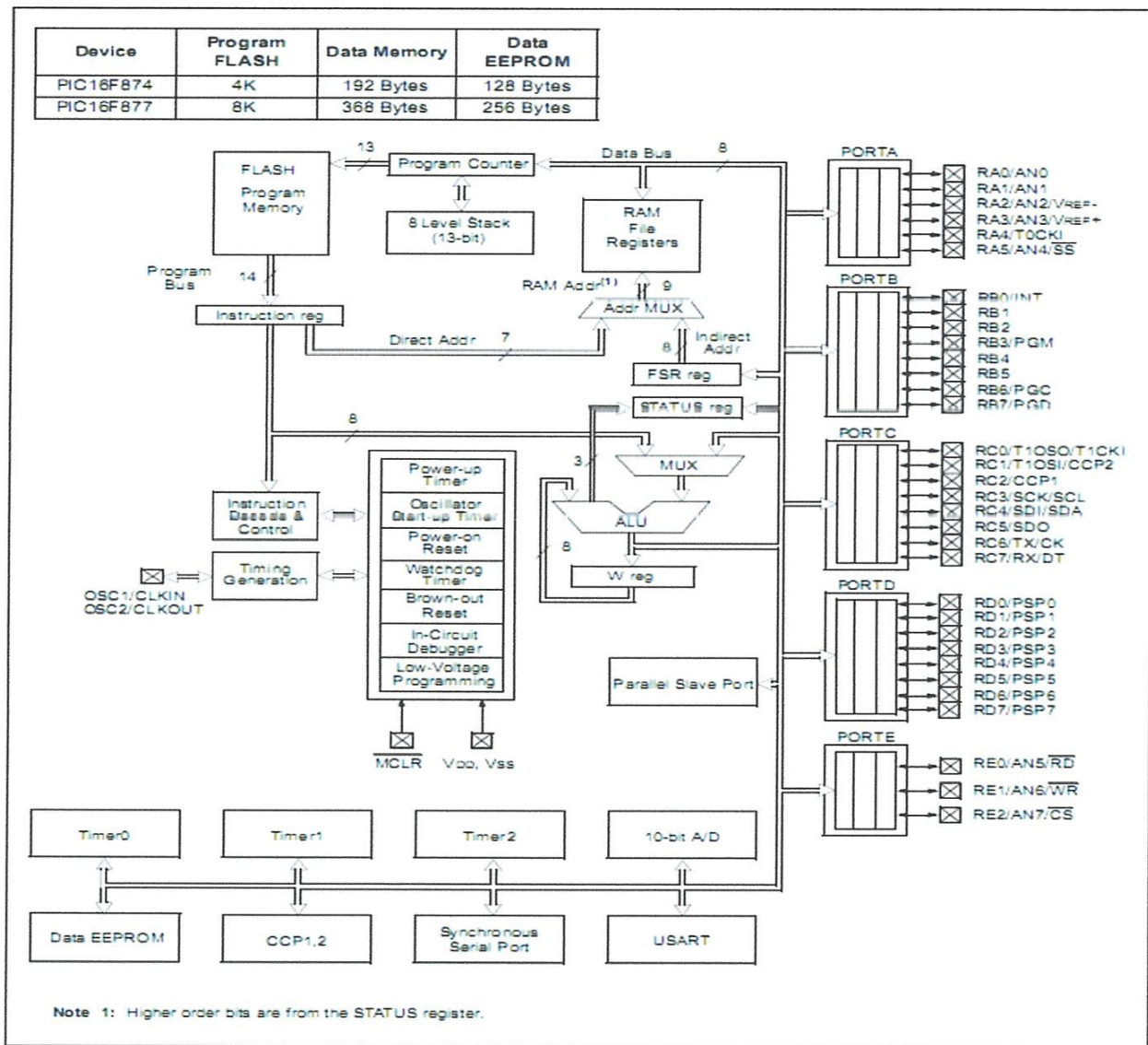


Figure (11) structure interne du PIC

3- Les Mémoires du PIC 16F877:

Le PIC 16F877 dispose de trois types de mémoires [9] :

3.1 Mémoire vive RAM

C'est de la mémoire d'accès rapide, mais labile (c'est-à-dire qu'elle s'efface lorsqu'elle n'est plus sous tension); cette mémoire contient les registres de configuration du PIC ainsi que les différents registres de données.

Chapitre 2

ETUDE et CHOIX DU MATERIEL

Elle comporte également les variables utilisées par le programme.

File Address		File Address		File Address		File Address			
Indirect addr. ^(*)	00h	Indirect addr. ^(*)	80h	Indirect addr. ^(*)	100h	Indirect addr. ^(*)	180h		
TMR0	01h	OPTION REG	81h	TMR0	101h	OPTION REG	181h		
PCL	02h	PCL	82h	PCL	102h	PCL	182h		
STATUS	03h	STATUS	83h	STATUS	103h	STATUS	183h		
FSR	04h	FSR	84h	FSR	104h	FSR	184h		
PORTA	06h	TRISA	85h		105h		185h		
PORTB	06h	TRISB	86h	PORTB	106h	TRISB	186h		
PORTC	07h	TRISC	87h		107h		187h		
IHIU ^(†)	08h	IHIU ^(†)	88h		108h		188h		
PORTE ^(†)	09h	TRISE ^(†)	89h		109h		189h		
PCLATH	0Ah	PCLATH	8Ah	PCLATH	10Ah	PCLATH	18Ah		
INTCON	0Bh	INTCON	8Bh	INTCON	10Bh	INTCON	18Bh		
PIR1	0Ch	PIE1	8Ch	EEDATA	10Ch	EECON1	18Ch		
PIR2	0Dh	PIE2	8Dh	EEADR	10Dh	EECON2	18Dh		
TMR1L	0Eh	PCON	8Eh	EEDATH	10Eh	Reserved ^(‡)	18Eh		
TMR1H	0Fh		8Fh	EEADRH	10Fh	Reserved ^(‡)	18Fh		
T1CON	10h		90h		110h		190h		
TMR2	11h	SSPCON2	91h	General Purpose Register 16 Bytes		General Purpose Register 16 Bytes			
T2CON	12h	PR2	92h				111h		191h
SSPBUF	13h	SSPADD	93h				112h		192h
SSPCON	14h	SSPSTAT	94h				113h		193h
CCPR1L	15h		95h				114h		194h
CCPR1H	16h		96h				115h		195h
CCP1CON	17h		97h				116h		196h
RCSTA	18h	TXSTA	98h				117h		197h
TXREG	19h	SPBRG	99h				118h		198h
RCREG	1Ah		9Ah				119h		199h
CCPR2L	1Bh		9Bh				11Ah		19Ah
CCPR2H	1Ch		9Ch				11Bh		19Bh
CCP2CON	1Dh		9Dh				11Ch		19Ch
ADRESH	1Eh	ADRESL	9Eh				11Dh		19Dh
ADCON0	1Fh	ADCON1	9Fh				11Eh		19Eh
	20h		A0h				11Fh		19Fh
General Purpose Register 96 Bytes	7Fh	General Purpose Register 80 Bytes	EFh	General Purpose Register 80 Bytes	16Fh	General Purpose Register 80 Bytes	1EFh		
								accesses 70h-7Fh	accesses 70h-7Fh
Bank 0		Bank 1	FFh	Bank 2	17Fh	Bank 3	1FFh		

Figure (12) Mémoire RAM

3.2-Mémoire morte FLASH

C'est la mémoire programme proprement dite. Chaque case mémoire unitaire se compose de 14 bits. La mémoire FLASH est un type de mémoire stable, réinscriptible à volonté. Cette mémoire a fait le succès de microprocesseur PIC.

Dans le cas du 16F877, cette mémoire FLASH est de 8 Kmots.

Chapitre 2

ETUDE et CHOIX DU MATERIEL

Lorsque l'on programme en assembleur, on écrit le programme directement dans cette mémoire.

3.3 -Mémoire EEPROM

Elle est de 256 octets, électriquement effaçable, réinscriptible et stable.

Ce type de mémoire est d'accès plus lent, elle est utilisée pour sauver des paramètres.

L'adresse relative de l'accès EEPROM est comprise entre 0000 et 00ff, ce qui nous permet d'utiliser qu'un registre de huit bits pour définir cette adresse.

4-L' Horloge:

L'horloge peut être soit interne soit externe. L'horloge interne est constituée d'un oscillateur à quartz ou d'un oscillateur RC. Avec l'oscillateur à quartz, on peut avoir des fréquences

Allant jusqu'à 20 MHz selon le type de microcontrôleur [10] .

Dans certains cas, une horloge externe au microcontrôleur peut être utilisée pour synchroniser le PIC sur un processus particulier. Quelque soit l'oscillateur utilisé, l'horloge système dit aussi cycle d'instruction est obtenue en divisant la fréquence par 4. Le terme $F_{osc}/4$ désigne l'horloge système. Par exemple on obtient un cycle d'instruction de 1 MHz, en utilisant un quartz de 4 MHz.

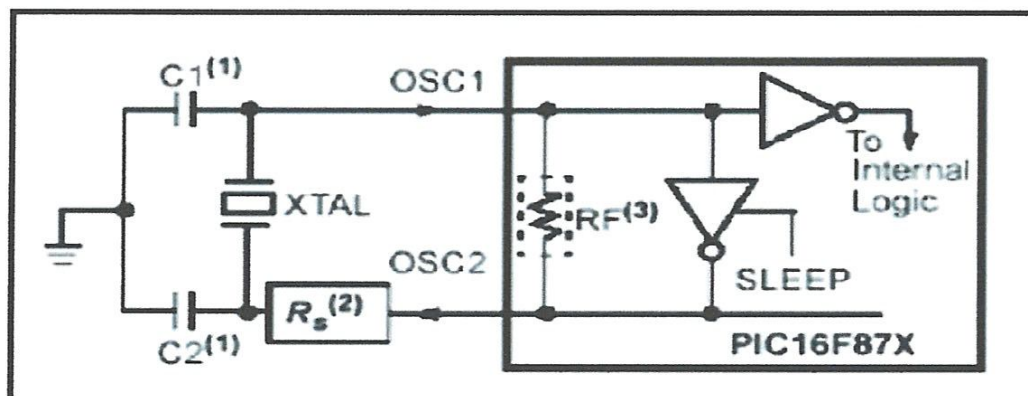


Figure (13) Schéma de l'horloge

Chapitre 2

ETUDE et CHOIX DU MATERIEL

5-Les Timers

Le PIC 16F877 dispose de 3 timers

5.1-Timer 0 (8 bits): Il peut être incrémenté par des impulsions extérieures [10] via la broche (TOCKI/RA4) ou par l'horloge interne ($F_{osc}/4$).

5.2-Timer 1 (16 bits): Il peut être incrémenté soit par l'horloge interne, ou soit par des impulsions sur la broche T1CKI/RC0 ou par un oscillateur (RC ou quartz) connecté sur les broches TOSO/RCO et T1OSI/RC1.

5.3-Timer 2 (8 bits) : Il est incrémenté par l'horloge interne, celle peut être prédivisée. Tous ces timers peuvent déclencher une interruption interne, s'ils ont été autorisés

6-Pile et Compteur Programme:

Le « Program Counter » ou PC est le compteur qui pointe, dans la mémoire de programme, la prochaine instruction à exécuter [10]. Il est lié à la pile système (Stack en anglais) à 8 niveaux dans le 16F877. C'est-à-dire qu'on peut avoir jusqu'à 8 niveaux d'imbrication d'appels de sous-programmes ou fonctions.

7-Chien de garde (Watch Dog):

- C'est un système de protection contre un blocage du programme [10]. Par exemple, si le programme attend le résultat d'un système extérieur (conversion analogique numérique par exemple) et qu'il n'y a pas de réponse, il peut rester bloquer. Pour en sortir on utilise un chien de garde. Il s'agit d'un compteur qui, lorsqu'il arrive en fin de comptage, permet de redémarrer le programme. Il est lancé au début du programme.

- En fonctionnement normal, il est remis à zéro régulièrement dans une branche du programme qui s'exécute régulièrement. Si le programme est bloqué, il ne passera plus dans la branche de remise à zéro et le comptage va jusqu'au bout, déclenche le chien de garde qui relance le programme.

Chapitre 2

ETUDE et CHOIX DU MATERIEL

8- Organisation externe du PIC 16F877

Le boîtier du PIC 16F877 comprend 40 pins : 33 pins d'entrées/sorties 4 pins pour l'alimentation, 2 pins pour l'oscillateur et un pin pour le reset (MCLR) [9].

La broche MCLR sert à initialiser le μ C en cas de la mise sous tension, de remise à zéro externe, de chien de garde et en cas de la baisse de tension d'alimentation. Les broches VDD (broches 11 et 32) et VSS (broches 12 et 31) servent à alimenter le PIC.

Les courants véhiculés dans le PIC sont loin d'être négligeables du fait de nombreuses entrées/sorties disponibles.

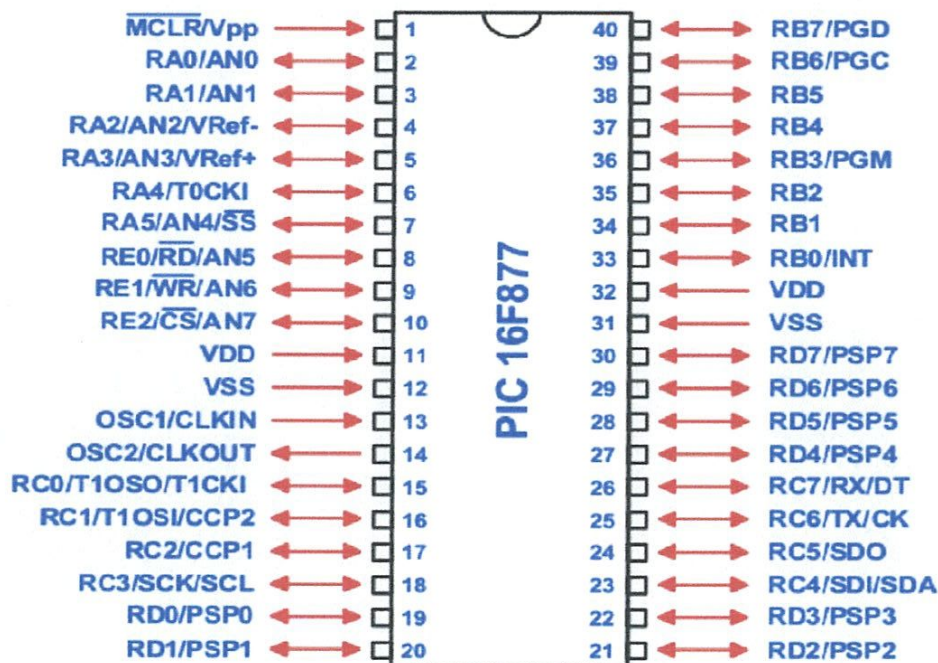


Figure (14) Brochage du PIC 16F877

8.1- Ports d'entrées/sortie :

Les Pics 16F877 contiennent les 5 ports suivants :

Port A : 6 pins E/S numérotées de RA0 à RA5.

Port B : 8 pins E/S numérotées de RB0 à RB7.

Port C : 8 pins E/S numérotées de RC0 à RC7.

Port D : 8 pins E/S numérotées de RD0 à RD7.

Chapitre 2

ETUDE et CHOIX DU MATERIEL

Port E : 3 pins E/S numérotées de RE0 à RE2.

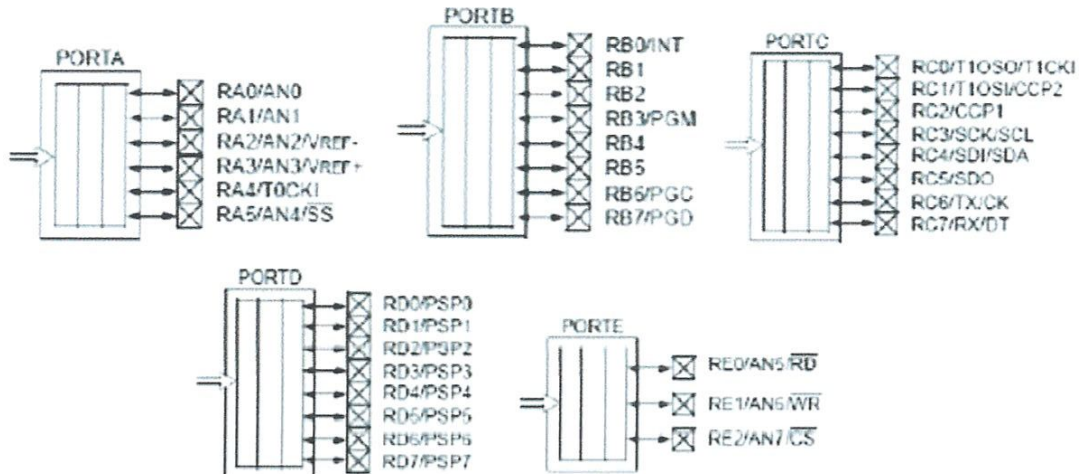


Figure (15) les ports d'Entrées/sorties du pic 16F877

Tous ces ports se trouvent dans la banque 0, mais tous leurs registres se trouvent dans la banque 1, pour déterminer les modes des ports (E/S), il faut sélectionner leurs registres TRISX

9-Mise en œuvre d'un afficheur L C D :

9.1-Présentation de l'afficheur LCD:

Les afficheurs à cristaux liquides sont des modules compacts intelligents [11] et nécessitent peu de composants externes. Ils sont utilisés avec beaucoup de facilité. Ils sont pratiquement les seuls à être utilisés sur les appareils à alimentation par pile.

Réaliser l'interface d'un écran LCD est une expérience très intéressante. Ses possibilités d'utilisation sont importantes car les afficheurs envahissent littéralement notre quotidien. L'écran étudié ici est du type alphanumérique (écriture de chiffres, de lettres et de signes) et est complètement standard. Il possède un générateur de caractères, un contrôleur intégré et est capable d'afficher 2 lignes de 16 caractères. Enfin, grâce à la présence d'une LED derrière l'écran, l'afficheur est doté d'un rétro éclairage du plus bel effet. Un tel écran coûte aux alentours de 1.50 Euro. Le prix variant selon le nombre de lignes, la présence d'un rétro éclairage et le système de transmission (série ou parallèle).

Chapitre 2

ETUDE et CHOIX DU MATERIEL

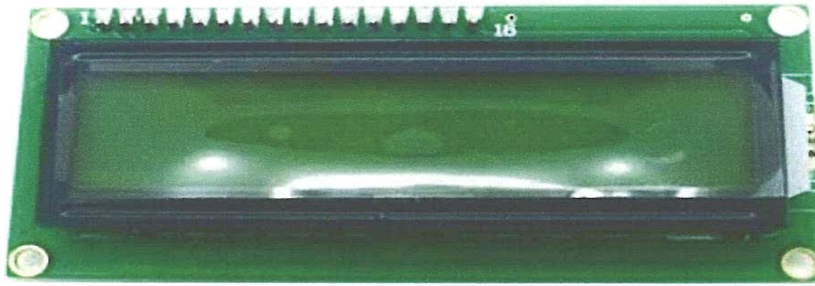


Figure (16): photo d'un afficheur LCD

9.2-Le brochage de l'afficheur:

Un circuit intégré spécialisé est chargé de la gestion du module. Il remplit une double fonction d'une part il commande l'afficheur [12] et d'une autre part se charge de la communication avec l'extérieur

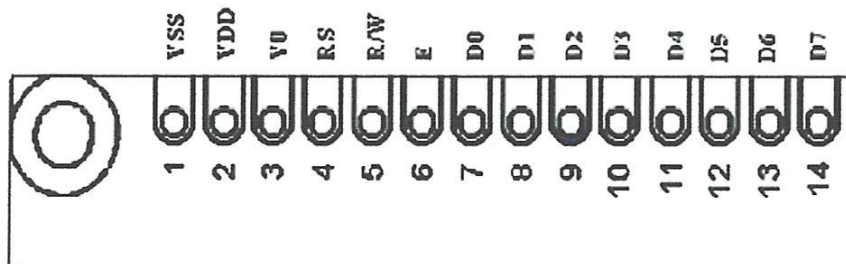


Figure (17) : Brochage d'un afficheur à cristaux liquides 2X16 caractères

L'écran à cristaux liquides, comporte une série de 14 broches aux rôles Suivants :

Broche	Nom	Niveau	Fonction
1	Vss	-	Masse
2	Vdd	-	Alimentation positive +5V
3	Vo	0-5V	Cette tension permet, en la faisant varier entre 0 et +5V, le réglage du contraste de l'afficheur.
4	RS	TTL	Sélection du registre (Register Select) Grâce à cette broche, l'afficheur est capable de faire la différence entre une commande et une donnée. Un niveau bas indique une commande et un niveau haut indique une donnée.
5	R/W	TTL	Lecture ou écriture (Read/Write) L : Écriture H : Lecture

Chapitre 2

ETUDE et CHOIX DU MATERIEL

6	E	TTL	Entrée de validation (Enable) active sur front descendant. Le niveau haut doit être maintenue pendant au moins 450 ns à l'état haut.
7	D0	TTL	Bus de données bidirectionnel 3 états (haute impédance lorsque E=0)
8	D1	TTL	
9	D2	TTL	
10	D3	TTL	
11	D4	TTL	
12	D5	TTL	
13	D6	TTL	
14	D7	TTL	
15	A	-	Anode rétro éclairage (+5V)
16	K	-	Cathode rétro éclairage (masse)

Tableau (1) Brochage d'un afficheur

Les connexions à réaliser sont simples puisque l'afficheur LCD dispose de peu de broches. Il faut évidemment, l'alimenter, le connecter à un bus de donnée (4 ou 8 bits), et connecter les broches E, R/W et RS.

9.3-Les caractères affichables:

- Les broches de données permettent également d'afficher un caractère selon le code fournit avec l'afficheur, il est ainsi possible d'afficher des caractères spéciaux. Ces codes sont mémorisés dans la CG RAM (Caractère Générateur), chaque caractère est formé sur une matrice 5*8 points, Voir Tableau (2).

- Le transfert peut se faire sur l'ensemble des huit bites (D0 à D7) ou bien sur quatre bits (D4 à D7), dans ce dernier cas on économise quatre lignes du PIC mais il faut réaliser le transfert en deux fois [12], le choix de huit lignes ou quatre lignes se fait par programme selon le positionnement de certains bits (voir les tableaux qui suivent).

- L'afficheur est en mesure d'afficher 200 caractères :

- ✓ de 00H à 07H : 8 caractères définissables par l'utilisateur

Chapitre 2

ETUDE et CHOIX DU MATERIEL

- ✓ de 20H à 7FH : 96 caractères ASCII excepté le caractère \ qui est remplacé par le signe ¥
- ✓ de A0H à DFH : 64 caractères japonais (alphabet kana)
- ✓ de E0H à FFH : 32 caractères spéciaux (accent, lettres grecques, ...)

NO.7066-0B

167-164 169-160	0000	0001	0010	0011	0100	0101	0110	0111	1000	1001	1010	1011	1100	1101	1110	1111
0000	CG RAM (1)	士	田	目	目	目	目	目	目	目	目	目	目	目	目	目
0001	(2)	田	目	目	目	目	目	目	目	目	目	目	目	目	目	目
0010	(3)	目	目	目	目	目	目	目	目	目	目	目	目	目	目	目
0011	(4)	目	目	目	目	目	目	目	目	目	目	目	目	目	目	目
0100	(5)	目	目	目	目	目	目	目	目	目	目	目	目	目	目	目
0101	(6)	目	目	目	目	目	目	目	目	目	目	目	目	目	目	目
0110	(7)	目	目	目	目	目	目	目	目	目	目	目	目	目	目	目
0111	(8)	目	目	目	目	目	目	目	目	目	目	目	目	目	目	目
1000	(1)	目	目	目	目	目	目	目	目	目	目	目	目	目	目	目
1001	(2)	目	目	目	目	目	目	目	目	目	目	目	目	目	目	目
1010	(3)	目	目	目	目	目	目	目	目	目	目	目	目	目	目	目
1011	(4)	目	目	目	目	目	目	目	目	目	目	目	目	目	目	目
1100	(5)	目	目	目	目	目	目	目	目	目	目	目	目	目	目	目
1101	(6)	目	目	目	目	目	目	目	目	目	目	目	目	目	目	目
1110	(7)	目	目	目	目	目	目	目	目	目	目	目	目	目	目	目
1111	(8)	目	目	目	目	目	目	目	目	目	目	目	目	目	目	目

Tableau (2) les caractères affichables

9.4-Principales instructions :

Après avoir défini le sens de déplacement, les caractères apparaissent au dessus du curseur (qu'il soit visualisé ou non). On peut déplacer le curseur en utilisant la commande « Set DD RAM address » [12].

Chapitre 2

ETUDE et CHOIX DU MATERIEL

Un défilement des caractères est aussi possible, il suffit pour cela d'envoyer la commande 07H (I/D=1, S=1), sans oublier de positionner RS à 0. Mais il faut faire attention car un décalage de l'affichage décale également les adresses de l'afficheur de sorte que l'extrême gauche de la ligne supérieure ne soit plus adressable à l'adresse 00. La commande « **Return home** » permet de repositionner les adresses de l'affichage.

Instructions	Code										Description	Durée	
	RS	R/W	D7	D6	D5	D4	D3	D2	D1	D0			
Clear Display	0	0	0	0	0	0	0	0	0	0	1	Efface l'ensemble de la mémoire de donnée sans toucher au générateur de caractères. Ramène le curseur en position « home », à l'adresse 00.	1,52 ms
Return home	0	0	0	0	0	0	0	0	0	1	X	Ramène le curseur en position « home », à l'adresse 00. Si l'affichage était décalé, il est remis à sa position d'origine : l'adresse 00 se trouve à nouveau en haut à gauche.	1,52ms
Entry mode set	0	0	0	0	0	0	0	0	1	I/D	S	Définit le sens de déplacement du curseur après	37µs

Chapitre 2

ETUDE et CHOIX DU MATERIEL

													l'apparition d'un caractère (vers la gauche si I/D=1, vers la droite si I/D=0) et si l'affichage accompagne le curseur dans son déplacement ou non (S).	
Display on/off control	0	0	0	0	0	0	1	D	C	B			Met l'affichage en ou hors fonction l'affichage (D), le curseur (C), le clignotement du curseur (B).	37 μ s
Cursor and display shift	0	0	0	0	0	1	S/C	R/L	X	X			Deplace le curseur (S/C=1) ou l'affichage (S/C=0) d'une position vers la gauche (R/L=1) ou la droite (R/L=0) sans changer la DD RAM.	37 μ s
Function set	0	0	0	0	1	DL	N	F	X	X			Définit la taille de l'interface (DL=0 pour mode 4 bits, DL=1 pour mode 8 bits), le nombre de lignes (NL=0 pour 1 ligne, N=1 pour 2 ou 4 lignes), et la taille des fontes (F=0 pour des caractères 5x7, F=1 pour des caractères	37 μ s

Chapitre 2

ETUDE et CHOIX DU MATERIEL

											5x10).	
Set CG RAM address	0	0	0	1	A5	A4	A3	A2	A1	A0	Définit l'adresse de la CG RAM. Les données de la CG RAM sont envoyées après cette commande.	37 μs
Set DD RAM address	0	0	1	A6	A5	A4	A3	A2	A1	A0	Définit l'adresse de la DD RAM. Les données de la DD RAM sont envoyées après cette commande.	37 μs
Read busy flag & address	0	1	BF	A6	A5	A4	A3	A2	A1	A0	Lit le flag busy (BF), et l'adresse de la position du curseur. BF vaut 0 si l'afficheur accepte une instruction, 1 s'il est occupé	1 μs
Write data to CG or DD RAM	1	0	D7	D6	D5	D4	D3	D2	D1	D0	Ecrit des données dans la DD RAM ou la CG RAM.	37 μs
Read data	1	1	D7	D6	D5	D4	D3	D2	D1	D0	Lit les données de la DD RAM ou de la CG RAM.	37 μs

Tableau(3) Le jeu de commandes standard

9.5-Connexion de l'afficheur sur la carte:

Dans notre application, nous avons utilisé un écran LCD alphanumérique de 2 lignes et de 16 caractères.

Chapitre 2

ETUDE et CHOIX DU MATERIEL

Cet écran est connecté au microcontrôleur sur la port D, on a conservé les broches du port D pour lier les données (D0 à D6) [11].

Un ensemble d'instruction spécialisée permet de le piloter très facilement est disponible dans le logiciel flowcode.

Il est également possible de piloter l'écran directement avec des instructions de commande sous forme binaire.

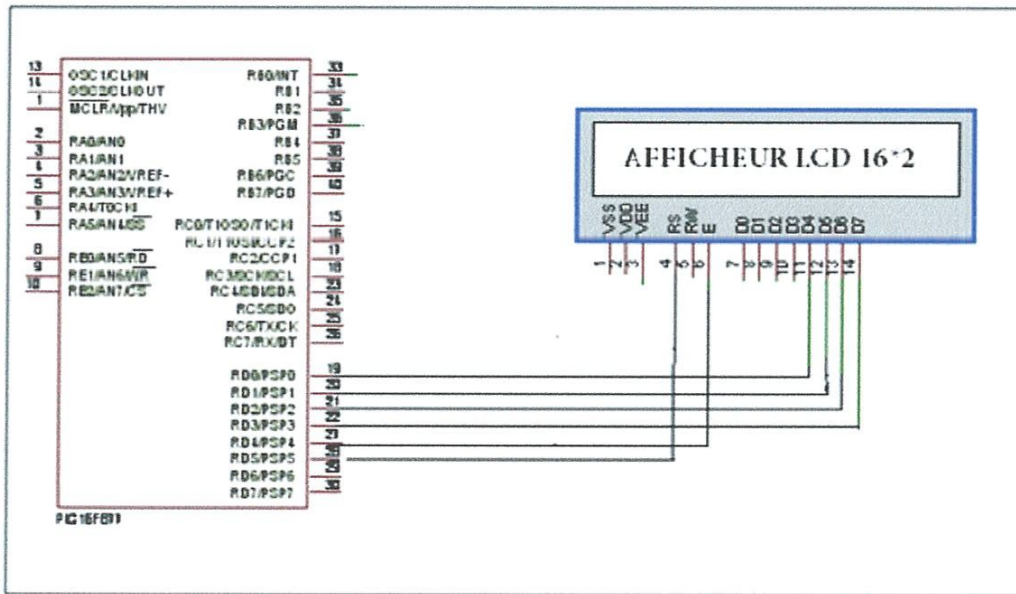


Figure (18) : montage de l'afficheur LCD avec le PIC

10-Programmation du pic :

10.1-Le flowcode

Flowcode permet de créer des programmes relativement complexes pour les microcontrôleurs de la famille des PICmicro® d'Arizona Microchip [13].

Flowcode permet de créer des applications pour des microcontrôleurs en sélectionnant et en plaçant des icônes sur un organigramme pour créer des Programmes simples. Ces programmes peuvent contrôler des périphériques externes connectés au microcontrôleur comme des LEDs, un afficheur LCD etc...

Une fois que l'organigramme est élaboré, Flowcode permet de simuler son comportement avant de le compiler, de l'assembler et de le transférer dans un microcontrôleur PICmicro®.

Chapitre 2

ETUDE et CHOIX DU MATERIEL

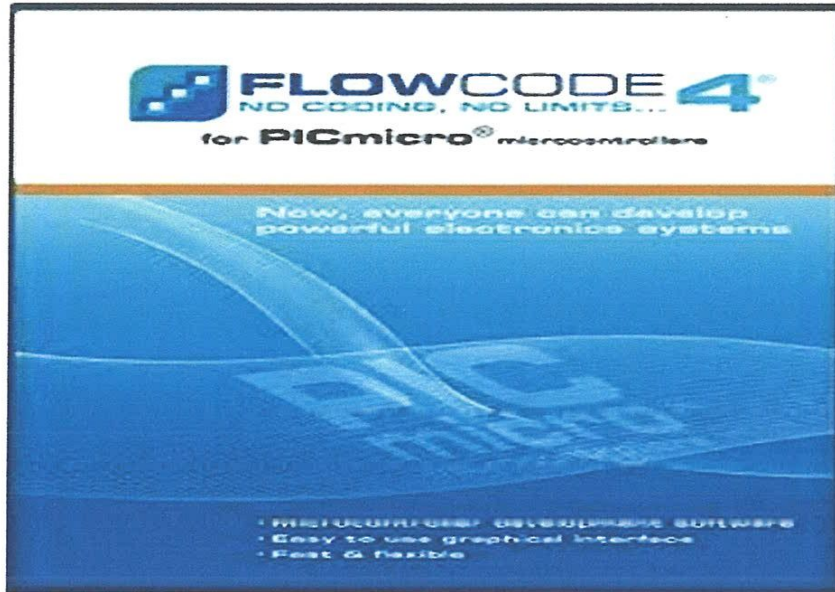


Figure (19) : logiciel flowcode

Pour atteindre cet objectif avec Flowcode, il suffit de réaliser les étapes suivantes :

- 1- Créer organigramme, spécifier le microcontrôleur cible que vous utiliserez.
- 2- Sélectionner et faire glisser les icônes de la barre d'outils sur l'organigramme pour programmer votre application.
- 3-Ajouter les périphériques externes nécessaires en cliquant sur les boutons correspondants dans la barre d'outils des composants, éditer leurs propriétés, spécifier comment ils sont connectés au microcontrôleur et appeler les macros correspondantes aux périphériques utilisés.
- 4- Faire tourner la simulation pour vous assurer que l'application se comporte comme vous le voulez.
- 5-Transférer l'application dans le microcontrôleur cible en compilant le programme en C, puis en l'assemblant et finalement en produisant le code objet.

L'environnement de Flowcode consiste en une aire de travail principale dans laquelle s'affiche l'organigramme, plusieurs barres d'outils qui vous permettent d'ajouter des icônes et des composants à votre application, trois fenêtres spécifiques pour montrer l'état du microcontrôleur ainsi que les composants

Chapitre 2

ETUDE et CHOIX DU MATERIEL

attachés et enfin deux fenêtres qui montrent les variables et les appels de macros lorsque vous simulez votre application.

Conclusion :

Le deuxième chapitre, fait l'objet d'une petite initiation concernant les différents étages du dispositif en donnant une idée générale sur les caractéristiques techniques. Et le brochage de chaque composant.

Chapitre 3

**SIMULATION ET REALISATION
PRATIQUE**

Chapitre3

Simulation et réalisation pratique

Introduction

Ce chapitre n'est qu'une suite logique des chapitres précédents, en effet, le premier chapitre nous a donné une idée du cahier de charge de notre projet.

Le second chapitre est une description du des différents composants et outils de travail tel que le microcontrôleur, l'afficheur LCD et les logiciels de simulation.

L'objectif de ce 3ème et dernier chapitre est l'étude pratique de la carte de commande de gestion de la file d'attente équipée par un distributeur de tickets.

Tout d'abords nous commençons par la réalisation du circuit imprimé, ensuite et après la soudure des composants nous effectuerons tous les tests nécessaires enfin nous attaquerons l'alimentation stabilisée.

1-Les particularités électriques :

L'alimentation stabilisée

La grande majorité des équipements électroniques ont besoin d'une source de courant continu qui peut être une pile ou batterie, mais généralement une alimentation stabilisée constituée d'un circuit transformant le courant alternatif du secteur (220v, 50Hz) en courant continu. Les circuits électroniques courants ont généralement besoin d'une tension de 5v.

L'afficheur LCD et le microcontrôleur fonctionnent sous une tension de 5v.

Le rôle des alimentations continues est de fournir les tensions et les courants nécessaires au fonctionnement des circuits électroniques avec le minimum d'ondulations résiduelles et la meilleure régulation possible. Elles doivent, de plus, souvent limiter le courant fourni en cas de surcharge ainsi que la tension continue qu'elles délivrent, ceci afin de protéger les composants fragiles.

Une alimentation est un montage transformant la tension alternative du secteur en une tension continue basse tension. Une alimentation secteur est composée d'un transformateur, d'un redresseur, d'un filtre et d'une stabilisation/régulation selon le besoin.

Chapitre3

Simulation et réalisation pratique

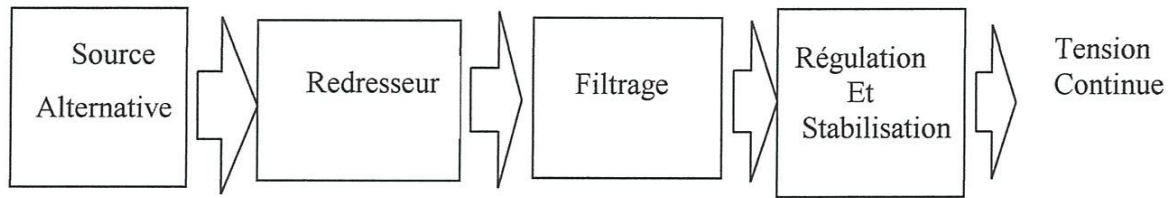


Figure (18a): schéma synoptique d'une Chaîne de conversion tension alternative-continue

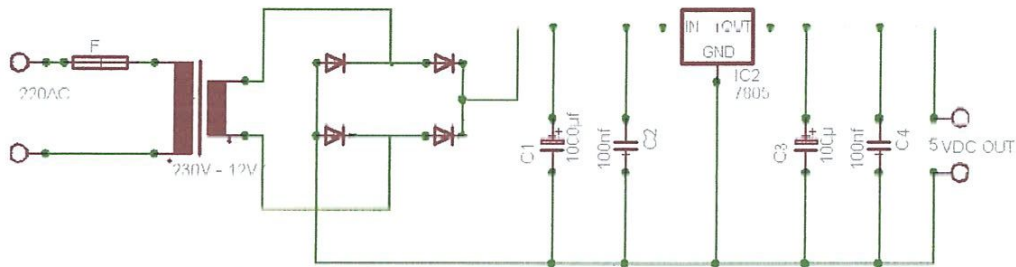
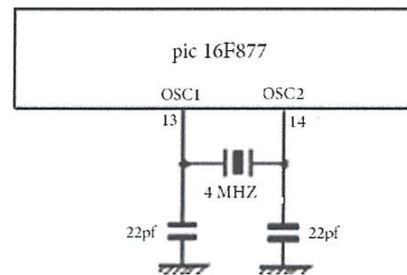


Figure (18b): schéma électrique de l'alimentation stabilisée

1-Connexion avec l'horloge à quartz :

L'horloge utilisée pour le fonctionnement de pic, et constituée autour d'un quartz associé à un circuit RC externe.

Cette horloge n'est autre qu'un oscillateur de 4MHZ qui sera branché sur les bronches OSC1 et OSC2 d'un pic avec deux capacités de 22pf de la façon suivante :



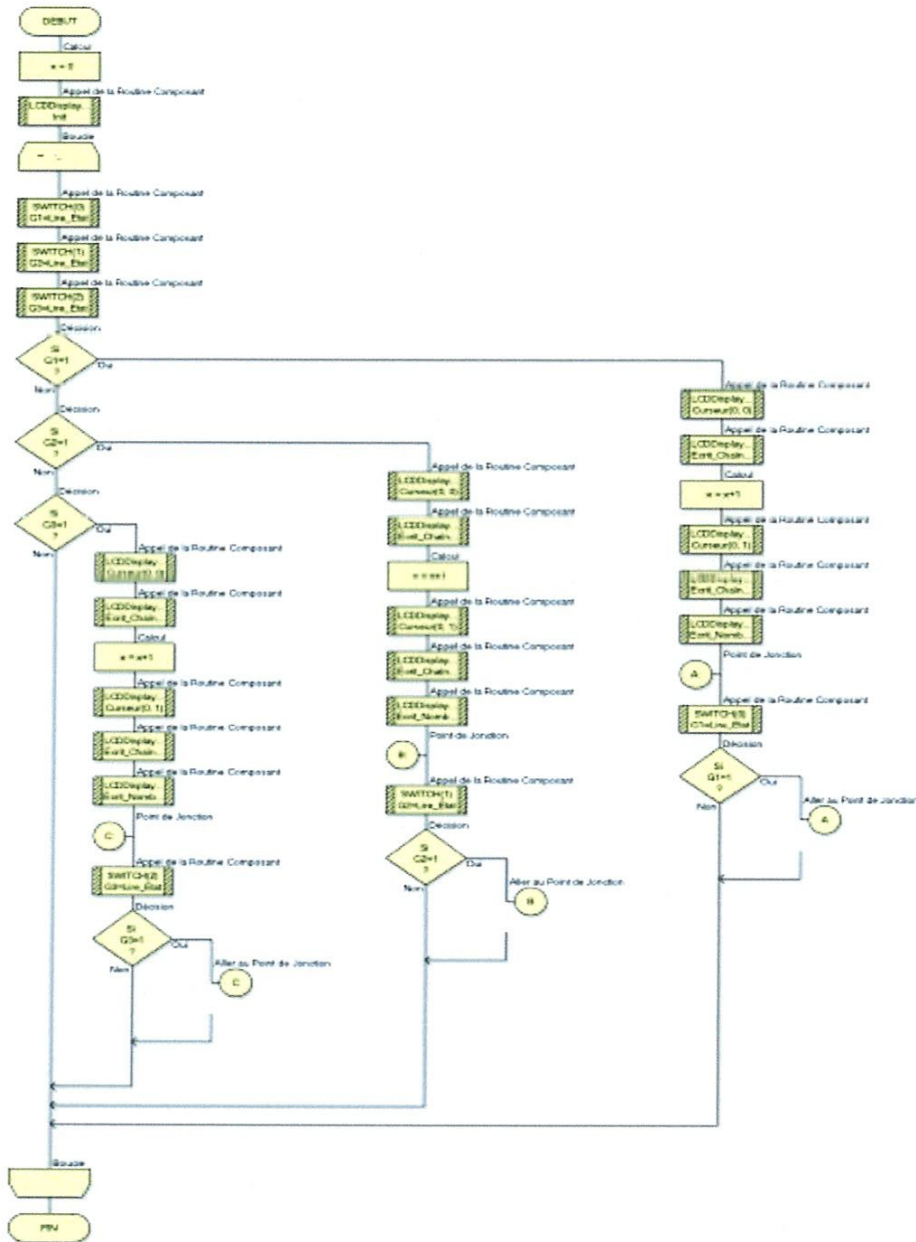
Figure(19) : Brochage du circuit d'oscillation PIC16F877

2-Organigramme :

Programme introduit dans le pic pour gérer la file d'attente. Créer par « FLOWCODE ». Ce logiciel (FLOWCODE) créera le programme qui doit être introduit dans le PIC à partir de l'organigramme tracé dans le même logiciel.

Chapitre3

Simulation et réalisation pratique



Figure(22) l'organigramme

La première partie de l'organigramme est une initialisation il n'ya pas de clients, aucun affichage dans l'afficheur LCD, les 3 guichets sont libres.

Chapitre3

Simulation et réalisation pratique

La deuxième partie de l'organigramme est la décision « si guichet 1 contient un client », au début de ce cas le curseur est a (0,0), le numéro du guichet 1 s'affiche, le numéro du client est incrémenté de 0 à 1 et s'affiche.

Quand le guichet 1 est occupé le client suivant est appelé au guichet numéro2 lorsque l'administrateur arrive à son guichet 2 et appuie pour appeler le client suivant. A ce moment le numéro du client est incrémenté et apparait avec le numéro du guichet sur l'afficheur LCD. Cela se répète à chaque fois qu'un administrateur se libère et appuie sur son bouton poussoir.

3-Schéma de fonctionnement :

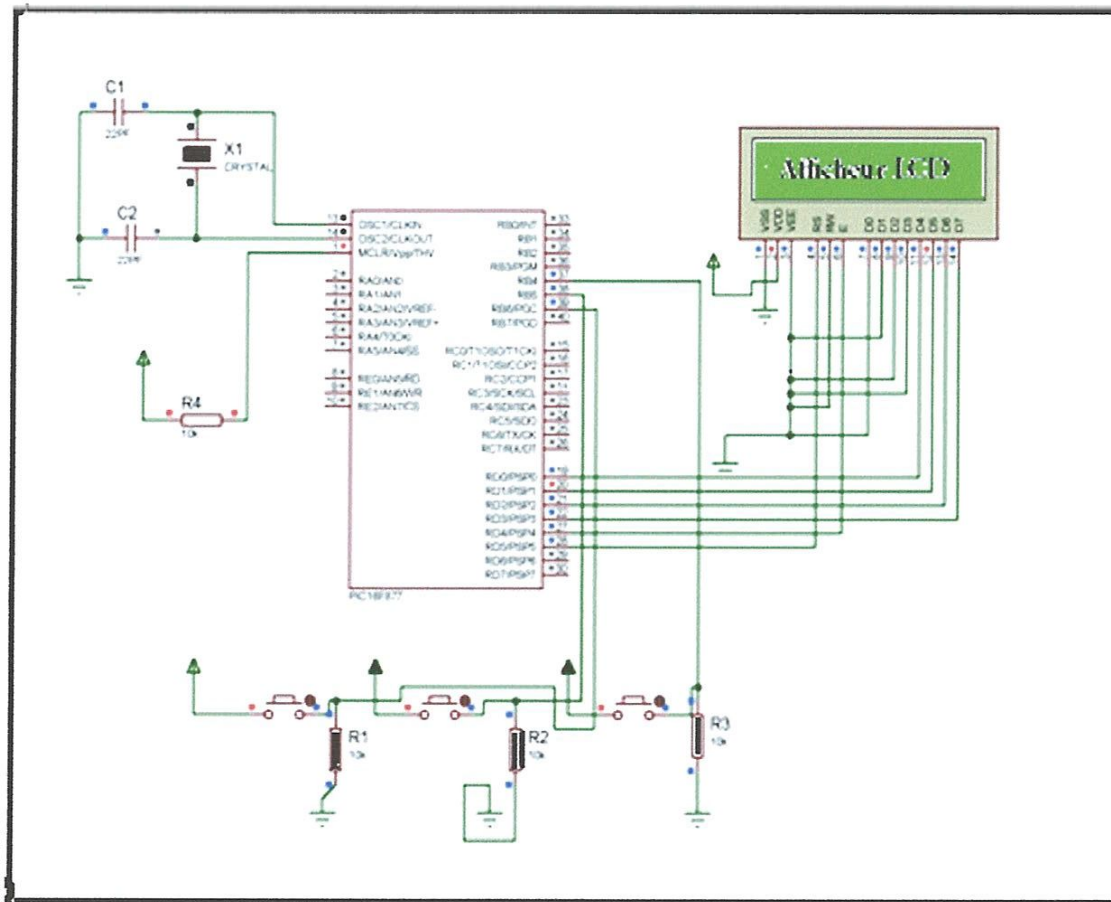


Figure (23) : schéma de fonctionnement

Chapitre3

Simulation et réalisation pratique

4- Simulation :

4.1- Logiciel de Simulation (Isis)

Isis est un simulateur de cartes électroniques intégré dans le logiciel PROTEUS de l'entreprise LabcenterElectrnics [14]. L'utilisation de ce logiciel est simple grâce à l'interface graphique qui rend claires toutes les commandes.

La bibliothèque est géante et contient presque tous les composants électroniques connus. De plus la recherche et l'importation de composants sont simples.

Isis est orientée vers les électroniciens débutants, ainsi que les développeurs et les professionnels.



Figure (24) Logiciel de simulation isis

4.2 Ares :

C'est un outil de conception des cartes électroniques imprimées, intégré dans le logiciel PROTEUS de l'entreprise Labcenter Electronics. Après avoir écrit et compiler un programme, on peut faire la simulation de la carte à l'aide de Isis. Lorsqu'on constate que le programme fonctionne correctement et que les composants sont bien placés, on peut donc passer à la conception de la carte imprimée sous Ares.

Chapitre3

Simulation et réalisation pratique

Parmi les caractéristiques de ce logiciel c'est qu'il permet à l'utilisateur d'ajouter n'importe quelle empreinte qui n'existe pas dans la bibliothèque. De plus, son utilisation est simple et facile.

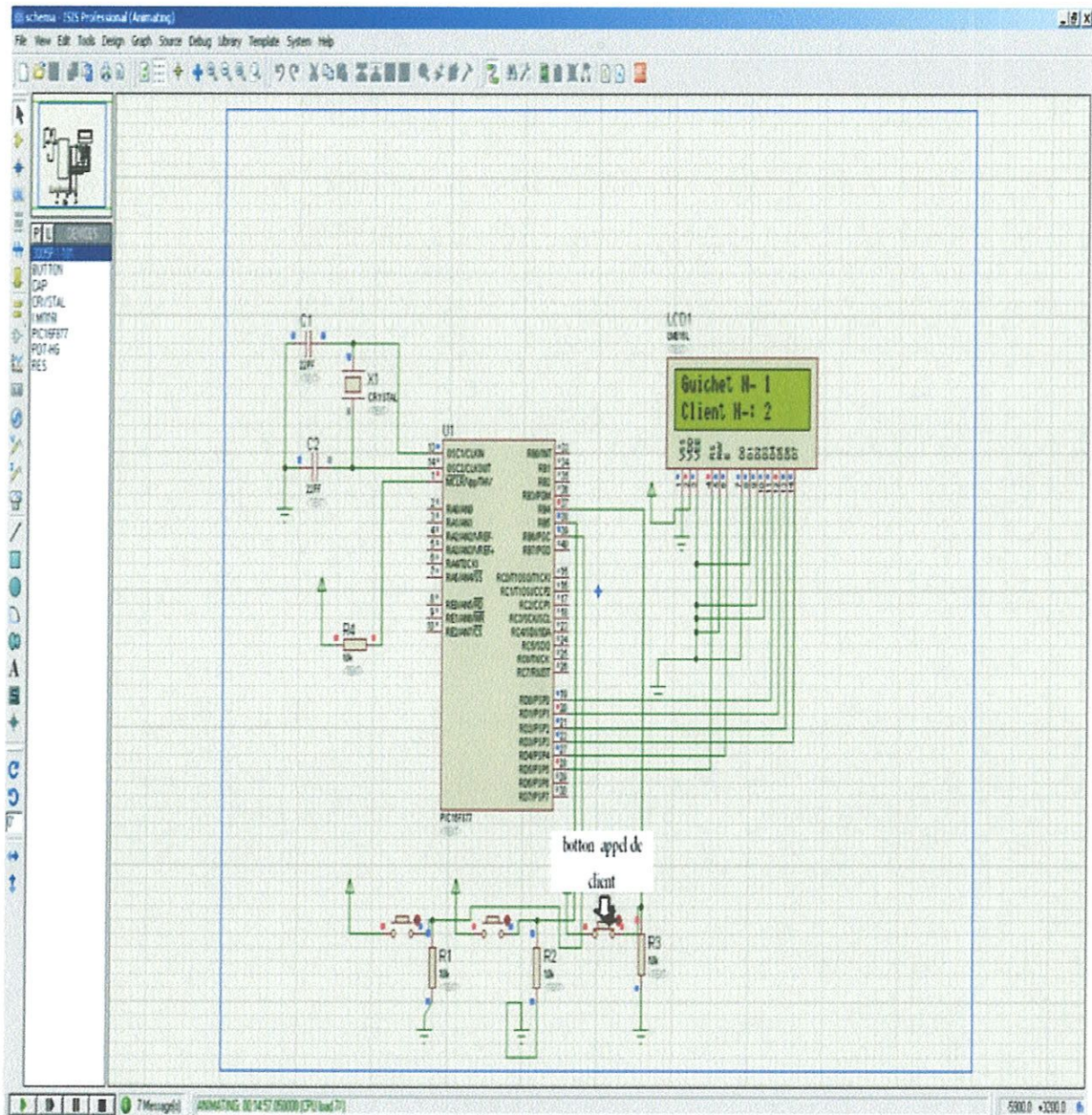


Figure (25) Simulation par isis

5-Réalisation pratique :

Pour réaliser les circuits déjà définis dans le chapitre 2, nous avons choisi de les implanter sur un circuit imprimé où nous avons distribué la masse sur une grande

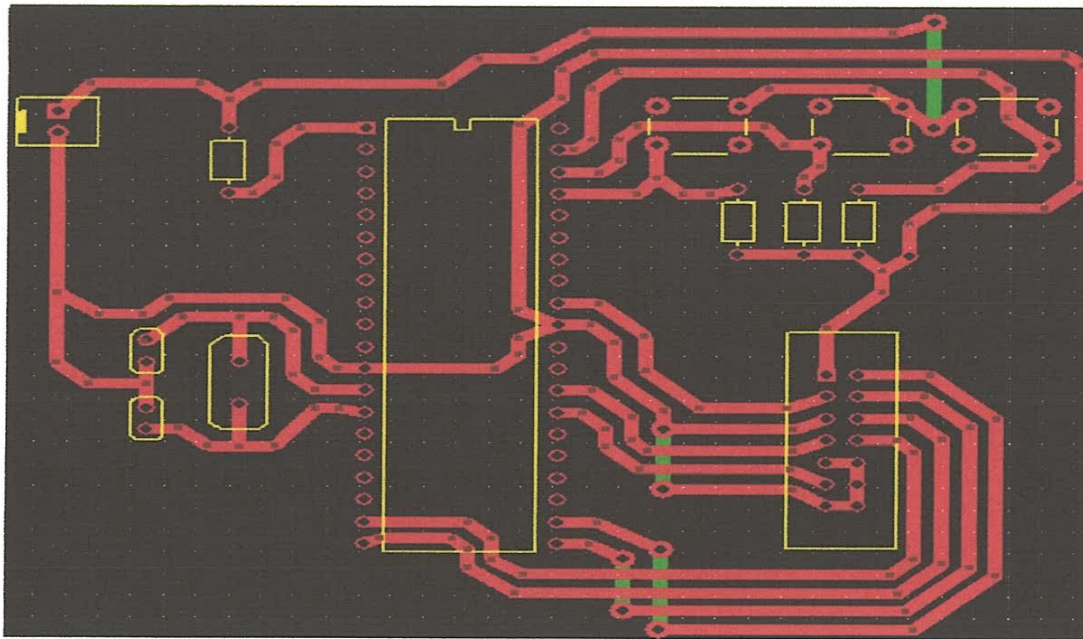
Chapitre3

Simulation et réalisation pratique

partie pour la bonne raison de diminuer l'effet des bruits causés par l'alimentation où les hautes fréquences qui peuvent être générées par l'environnement de la carte.

Il est préférable que le circuit de commande soit imprimé sur une plaquette double face pour des raisons de complexité des connexions entre les composants utilisés. A défaut des plaquettes simples faces seront utilisées et appuyées par des shunts.

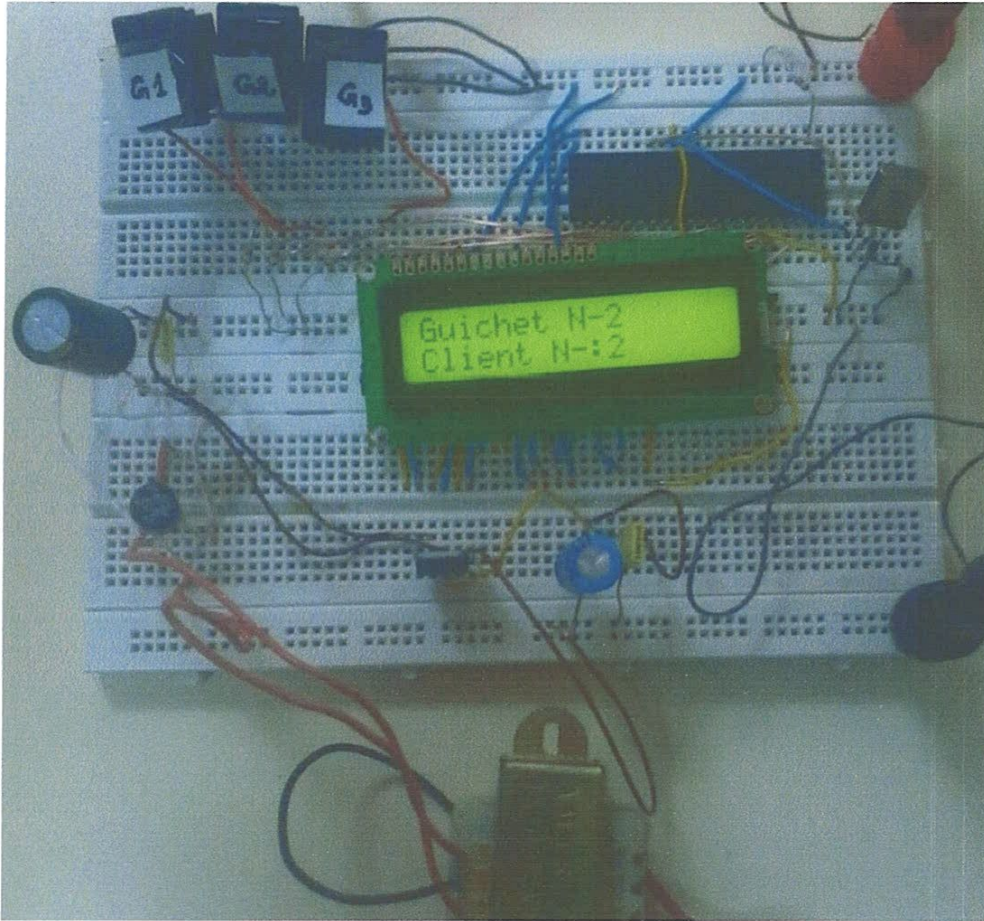
Nous avons utilisé le logiciel PROTEUS 6 pour le routage du circuit imprimé, ce logiciel nous a beaucoup simplifié la tâche.



Figure(26) circuit imprimé

Chapitre3

Simulation et réalisation pratique



Figure(27) : réalisation sur la plaque de

Conclusion :

Nous venons de présenter dans ce chapitre la simulation et la réalisation de notre projet, avec la programmation des PIC afin d'avoir un bon fonctionnement qui facilite par la suite l'utilisation de se dernier et voila nous avons un prototype de système de commande de gestion d'une salle d'attente équipée d'un distributeur de tickets.

Conclusion Générale

Conclusion générale

Un système de commande de la gestion d'une salle d'attente équipé d'un distributeur de tickets à base de micro contrôleur PIC 16F877 a fait l'objet de notre tâche.

L'élaboration de ce travail dans le cadre du projet du fin d'étude, nous a permis d'approfondir nos connaissances théoriques en électronique, d'acquérir une bonne expérience au niveau de la réalisation pratique et au niveau de la recherche bibliographique.

Lors de cette manipulation, nous avons essayé de proposer un programme qui peut être bien utilisé dans des différents cas.

Finalement, nous estimons que ce projet peut participer dans le développement de la bibliothèque du département et sert par la suite à développer des applications autour du PIC16F877.

Bibliographie

- 1- les microcontrôleurs pic, Bernard Béghyn, Lavoisier ; édition 2003
Bibliothèque centrale université de Guelma réf : L/621.781
- 2- programmation en c des PICs, Christian tavenier, dunod, édition 2005
Bibliothèque centrale université de Guelma réf : L/004.1014
- 3- Description et mise en œuvre, Christian tavenier, dunod, édition 2002
- 4-La programmation des PICs. BIGONOFF Révision 6 ; Edition : [2001].

Sites Web

- 1 – [wikipedia.org/wiki/ file d'attente](http://wikipedia.org/wiki/file_d'attente).
- 2- http://www.gerad.ca/Sebastien.Le.Digabel/MTH2302D/14_files_attente.pdf
- 3- [\Gestion de files d'attente - Gestion des temps, contrôle d'accès.htm](#)
- 4- <http://www.mplogic.com/gfa/index.html.fr>
- 5- [http// www.charvet-industries.com](http://www.charvet-industries.com)
- 6 - <http://www.technologuepro.com/projet-fin-etudes/gestion-distributeur-ticket-28.html>
- 7- <http://www.alpros-dz.com/K211.pdf>
- 8- <http://www.alpros-dz.com/K418.pdf>
- 9- [http// www.microchip.com](http://www.microchip.com)
- 10-http://www.jmb-electronique.com/Bigonoff/Part1_R6.pdf
- 11-http://iut-tice.ujf-grenoble.fr/tice-espaces/GEII/EP-od/wupload/File/II2_Cours/Chapitre10.pdf
- 12-<http://www.iset-ti.be/Portals/0/Jamart/Brochage%20LCD.pdf>
- 13-<http://www.elektor.fr/Uploads/2011/4/Notice-FLOWCODE-V4-3.pdf>
- 14-[http // www.technologuepro.com/tags/proteus.html](http://www.technologuepro.com/tags/proteus.html)

Programme de Pic

```

////////////////////////////////////
// Code Generator: BoostC Compiler - http://www.sourceboost.com
// Version      : 6.95
// License Type : Lite License (Unregistered)
// Limitations  : PIC12,PIC16 max code size:2048 words, max RAM banks:2, Non commercial use only
////////////////////////////////////

```

```

        include "P16F877.inc"
; Heap block 0, size:95 (0x000000A0 - 0x000000FE)
__HEAP_BLOCK0_BANK      EQU    0x00000001
__HEAP_BLOCK0_START_OFFSET EQU    0x00000020
__HEAP_BLOCK0_END_OFFSET EQU    0x0000007E
; Heap block 1, size:21 (0x0000005B - 0x0000006F)
__HEAP_BLOCK1_BANK      EQU    0x00000000
__HEAP_BLOCK1_START_OFFSET EQU    0x0000005B
__HEAP_BLOCK1_END_OFFSET EQU    0x0000006F
; Heap block 2, size:0 (0x00000000 - 0x00000000)
__HEAP_BLOCK2_BANK      EQU    0x00000000
__HEAP_BLOCK2_START_OFFSET EQU    0x00000000
__HEAP_BLOCK2_END_OFFSET EQU    0x00000000
; Heap block 3, size:0 (0x00000000 - 0x00000000)
__HEAP_BLOCK3_BANK      EQU    0x00000000
__HEAP_BLOCK3_START_OFFSET EQU    0x00000000
__HEAP_BLOCK3_END_OFFSET EQU    0x00000000
__div_16_1_00003_arg_a EQU    0x0000004B ; bytes:2
__div_16_1_00003_arg_b EQU    0x0000004D ; bytes:2
CompTempVarRet243      EQU    0x00000034 ; bytes:2
__div_16_1_00003_l_r   EQU    0x00000051 ; bytes:2
__div_16_1_00003_l_i   EQU    0x00000053 ; bytes:1
gbl_status              EQU    0x00000003 ; bytes:1
gbl_16_LSR              EQU    0x00000020 ; bytes:4
gbl_float_detect_tininess EQU    0x00000039 ; bytes:1
gbl_float_rounding_mode EQU    0x0000003A ; bytes:1
gbl_float_exception_flags EQU    0x0000003B ; bytes:1
gbl_17_gbl_aSig        EQU    0x00000024 ; bytes:4
gbl_17_gbl_bSig        EQU    0x00000028 ; bytes:4
gbl_17_gbl_zSig        EQU    0x0000002C ; bytes:4
gbl_17_gbl_aExp        EQU    0x0000003C ; bytes:1
gbl_17_gbl_bExp        EQU    0x0000003D ; bytes:1
gbl_17_gbl_zExp        EQU    0x00000037 ; bytes:2
gbl_17_gbl_aSign       EQU    0x0000003E ; bytes:1
gbl_17_gbl_bSign       EQU    0x0000003F ; bytes:1
gbl_17_gbl_zSign       EQU    0x00000040 ; bytes:1
gbl_17_gbl_zSigZero    EQU    0x00000041 ; bytes:1
gbl_17_gbl_ret         EQU    0x00000030 ; bytes:4
gbl_indf               EQU    0x00000000 ; bytes:1
gbl_tmr0               EQU    0x00000001 ; bytes:1
gbl_pcl                EQU    0x00000002 ; bytes:1
gbl_fsr                EQU    0x00000004 ; bytes:1
gbl_porta              EQU    0x00000005 ; bytes:1
gbl_portb              EQU    0x00000006 ; bytes:1
gbl_portc              EQU    0x00000007 ; bytes:1
gbl_portd              EQU    0x00000008 ; bytes:1
gbl_porte              EQU    0x00000009 ; bytes:1
gbl_pclath             EQU    0x0000000A ; bytes:1
gbl_intcon             EQU    0x0000000B ; bytes:1
gbl_pir1               EQU    0x0000000C ; bytes:1
gbl_pir2               EQU    0x0000000D ; bytes:1
gbl_tmr1l              EQU    0x0000000E ; bytes:1
gbl_tmr1h              EQU    0x0000000F ; bytes:1
gbl_t1con              EQU    0x00000010 ; bytes:1
gbl_tmr2               EQU    0x00000011 ; bytes:1
gbl_t2con              EQU    0x00000012 ; bytes:1
gbl_sspbuf             EQU    0x00000013 ; bytes:1
gbl_sspcon             EQU    0x00000014 ; bytes:1
gbl_ccpr1l             EQU    0x00000015 ; bytes:1
gbl_ccpr1h             EQU    0x00000016 ; bytes:1
gbl_ccp1con            EQU    0x00000017 ; bytes:1
gbl_rcsta              EQU    0x00000018 ; bytes:1
gbl_txreg              EQU    0x00000019 ; bytes:1

```

```

gbl_rcreg          EQU 0x0000001A ; bytes:1
gbl_ccpr2l        EQU 0x0000001B ; bytes:1
gbl_ccpr2h        EQU 0x0000001C ; bytes:1
gbl_ccp2con       EQU 0x0000001D ; bytes:1
gbl_adresh        EQU 0x0000001E ; bytes:1
gbl_adcon0        EQU 0x0000001F ; bytes:1
gbl_option_reg    EQU 0x00000081 ; bytes:1
gbl_trisa         EQU 0x00000085 ; bytes:1
gbl_trisb         EQU 0x00000086 ; bytes:1
gbl_trisc         EQU 0x00000087 ; bytes:1
gbl_trisd         EQU 0x00000088 ; bytes:1
gbl_trise         EQU 0x00000089 ; bytes:1
gbl_pie1          EQU 0x0000008C ; bytes:1
gbl_pie2          EQU 0x0000008D ; bytes:1
gbl_pcon          EQU 0x0000008E ; bytes:1
gbl_sspcon2       EQU 0x00000091 ; bytes:1
gbl_pr2           EQU 0x00000092 ; bytes:1
gbl_sspadd        EQU 0x00000093 ; bytes:1
gbl_sspstat       EQU 0x00000094 ; bytes:1
gbl_bxsta         EQU 0x00000098 ; bytes:1
gbl_sphrg         EQU 0x00000099 ; bytes:1
gbl_adresl        EQU 0x0000009E ; bytes:1
gbl_adcon1        EQU 0x0000009F ; bytes:1
gbl_eedata        EQU 0x0000010C ; bytes:1
gbl_eeadr         EQU 0x0000010D ; bytes:1
gbl_eeath         EQU 0x0000010E ; bytes:1
gbl_ccadrh        EQU 0x0000010F ; bytes:1
gbl_eecon1        EQU 0x0000018C ; bytes:1
gbl_eecon2        EQU 0x0000018D ; bytes:1
gbl_FCV_X         EQU 0x00000042 ; bytes:1
gbl_FCV_G1        EQU 0x00000043 ; bytes:1
gbl_FCV_G2        EQU 0x00000044 ; bytes:1
gbl_FCV_G3        EQU 0x00000045 ; bytes:1
Wdt_msDela_00045_1_i EQU 0x0000004C ; bytes:1
Wdt_Delay_00047_arg_delay EQU 0x00000048 ; bytes:2
Wdt_Delay_00047_1_i EQU 0x0000004A ; bytes:2
CompTempVar2178   EQU 0x0000004C ; bytes:1
FCD_LCDDis_00048_arg_in EQU 0x00000057 ; bytes:1
FCD_LCDDis_00048_arg_mask EQU 0x00000058 ; bytes:1
FCD_LCDDis_00048_1_pt EQU 0x00000059 ; bytes:1
FCD_LCDDis_0004D_arg_x EQU 0x00000046 ; bytes:1
FCD_LCDDis_0004D_arg_y EQU 0x00000047 ; bytes:1
FCD_LCDDis_0004E_arg_Number EQU 0x00000046 ; bytes:2
FCD_LCDDis_0004E_1_tmp_int EQU 0x00000048 ; bytes:2
FCD_LCDDis_0004E_1_tmp_byte EQU 0x0000004A ; bytes:1
CompTempVar2206   EQU 0x0000004B ; bytes:1
CompTempVar2209   EQU 0x0000004F ; bytes:1
CompTempVar2212   EQU 0x0000004F ; bytes:1
CompTempVar2213   EQU 0x00000050 ; bytes:1
CompTempVar2216   EQU 0x0000004B ; bytes:1
CompTempVar2217   EQU 0x0000004F ; bytes:1
CompTempVar2218   EQU 0x00000050 ; bytes:1
CompTempVar2221   EQU 0x0000004B ; bytes:1
CompTempVar2222   EQU 0x0000004F ; bytes:1
CompTempVar2223   EQU 0x00000050 ; bytes:1
FCD_LCDDis_0004F_arg_String EQU 0x00000046 ; bytes:2
FCD_LCDDis_0004F_arg_MSZ_String EQU 0x00000055 ; bytes:1
FCD_LCDDis_0004F_1_idx EQU 0x00000056 ; bytes:1
CompTempVarRet2234 EQU 0x00000047 ; bytes:1
FCD_SWITCH_00054_1_switchval EQU 0x00000046 ; bytes:1
CompTempVarRet2235 EQU 0x00000047 ; bytes:1
FCD_SWITCH_00057_1_switchval EQU 0x00000046 ; bytes:1
CompTempVarRet2236 EQU 0x00000047 ; bytes:1
FCD_SWITCH_0005A_1_switchval EQU 0x00000046 ; bytes:1
CompTempVar2237   EQU 0x00000048 ; bytes:13
CompTempVar2239   EQU 0x00000048 ; bytes:12
CompTempVar2241   EQU 0x00000048 ; bytes:13
CompTempVar2243   EQU 0x00000048 ; bytes:12
CompTempVar2245   EQU 0x00000048 ; bytes:13
CompTempVar2247   EQU 0x00000048 ; bytes:12

```



```

delay_us_00000_arg_del EQU 0x0000004D ; bytes:1
delay_10us_00000_arg_del EQU 0x0000005A ; bytes:1
Int1Context EQU 0x0000007F ; bytes:1
Int1BContext EQU 0x00000034 ; bytes:3
    ORG 0x00000000
    GOTO _startup
    ORG 0x00000004
    MOVWF Int1Context
    SWAPF STATUS, W
    BCF STATUS, RP0
    BCF STATUS, RP1
    MOVWF Int1BContext
    SWAPF PCLATH, W
    MOVWF Int1BContext+D'1'
    SWAPF FSR, W
    MOVWF Int1BContext+D'2'
    BCF PCLATH,3
    BCF PCLATH,4
    GOTO interrupt
    ORG 0x00000010
delay_us_00000
; { delay_us ; function begin
    MOVLW 0x03
    ADDWF delay_us_00000_arg_del, F
    RRF delay_us_00000_arg_del, F
    RRF delay_us_00000_arg_del, F
    MOVLW 0x7F
    ANDWF delay_us_00000_arg_del, F
label1
    NOP
    DECFSZ delay_us_00000_arg_del, F
    GOTO label1
    RETURN
; } delay_us function end

    ORG 0x0000001A
delay_10us_00000
; { delay_10us ; function begin
label2
    NOP
    NOP
    NOP
    NOP
    NOP
    NOP
    NOP
    DECFSZ delay_10us_00000_arg_del, F
    GOTO label2
    RETURN
; } delay_10us function end

    ORG 0x00000024
Wdt_msDela_00045
; { Wdt_msDelay ; function begin
    BCF STATUS, RP0
    BCF STATUS, RP1
    CLRF Wdt_msDela_00045_1_i
label3
    MOVLW 0x4B
    SUBWF Wdt_msDela_00045_1_i, W
    BTFSC STATUS,C
    RETURN
    CLRWDT
    MOVLW 0x0A
    MOVWF delay_us_00000_arg_del
    CALL delay_us_00000
    INCF Wdt_msDela_00045_1_i, F
    GOTO label3
; } Wdt_msDelay function end

```

```

        ORG 0x00000031
__div_16_1_00003
; { __div_16_16 ; function begin
        CLRf __div_16_1_00003_1_r
        CLRf __div_16_1_00003_1_r+D'1'
        CLRf CompTempVarRet243
        CLRf CompTempVarRet243+D'1'
        CLRf __div_16_1_00003_1_i
label4
        BTFSC __div_16_1_00003_1_i,4
        RETURN
        BCF STATUS,C
        RLF CompTempVarRet243, F
        RLF CompTempVarRet243+D'1', F
        RLF __div_16_1_00003_arg_a, F
        RLF __div_16_1_00003_arg_a+D'1', F
        RLF __div_16_1_00003_1_r, F
        RLF __div_16_1_00003_1_r+D'1', F
        MOVF __div_16_1_00003_arg_b+D'1', W
        SUBWF __div_16_1_00003_1_r+D'1', W
        BTFSS STATUS,Z
        GOTO label5
        MOVF __div_16_1_00003_arg_b, W
        SUBWF __div_16_1_00003_1_r, W
label5
        BTFSS STATUS,C
        GOTO label6
        MOVF __div_16_1_00003_arg_b, W
        SUBWF __div_16_1_00003_1_r, F
        MOVF __div_16_1_00003_arg_b+D'1', W
        BTFSS STATUS,C
        DECF __div_16_1_00003_1_r+D'1', F
        SUBWF __div_16_1_00003_1_r+D'1', F
        BSF CompTempVarRet243,0
label6
        INCF __div_16_1_00003_1_i, F
        GOTO label4
; } __div_16_16 function end

        ORG 0x00000050
Wdt_Delay_00047
; { Wdt_Delay_Ms ; function begin
        CLRf Wdt_Delay_00047_1_i
        CLRf Wdt_Delay_00047_1_i+D'1'
label7
        MOVF Wdt_Delay_00047_1_i+D'1', W
        XORLW 0x80
        MOVWF CompTempVar2178
        MOVF Wdt_Delay_00047_arg_delay+D'1', W
        XORLW 0x80
        SUBWF CompTempVar2178, W
        BTFSS STATUS,Z
        GOTO label8
        MOVF Wdt_Delay_00047_arg_delay, W
        SUBWF Wdt_Delay_00047_1_i, W
label8
        BTFSC STATUS,C
        RETURN
        CALL Wdt_msDela_00045
        INCF Wdt_Delay_00047_1_i, F
        BTFSS STATUS,Z
        INCF Wdt_Delay_00047_1_i+D'1', F
        GOTO label7
; } Wdt_Delay_Ms function end

        ORG 0x00000063
FCD_LCDDis_00048
; { FCD_LCDDisplay0_RawSend ; function begin
        BCF gbl_portd,0
        BCF gbl_portd,1

```

```

BCF gbl_portd,2
BCF gbl_portd,3
BCF gbl_portd,5
BCF gbl_portd,4
SWAPF FCD_LCDDis_00048_arg_in, W
ANDLW 0x0F
MOVWF FCD_LCDDis_00048_1_pt
MOVLW 0x0F
ANDWF FCD_LCDDis_00048_1_pt, F
BTFSC FCD_LCDDis_00048_1_pt,0
BSF gbl_portd,0
BTFSC FCD_LCDDis_00048_1_pt,1
BSF gbl_portd,1
BTFSC FCD_LCDDis_00048_1_pt,2
BSF gbl_portd,2
BTFSC FCD_LCDDis_00048_1_pt,3
BSF gbl_portd,3
MOVF FCD_LCDDis_00048_arg_mask, F
BTFSS STATUS,Z
BSF gbl_portd,5
MOVLW 0x0A
MOVWF delay_10us_00000_arg_del
CALL delay_10us_00000
BSF gbl_portd,4
MOVLW 0x0A
MOVWF delay_10us_00000_arg_del
CALL delay_10us_00000
BCF gbl_portd,4
MOVLW 0x0F
ANDWF FCD_LCDDis_00048_arg_in, W
MOVWF FCD_LCDDis_00048_1_pt
MOVLW 0x0A
MOVWF delay_10us_00000_arg_del
CALL delay_10us_00000
BCF gbl_portd,0
BCF gbl_portd,1
BCF gbl_portd,2
BCF gbl_portd,3
BCF gbl_portd,5
BCF gbl_portd,4
BTFSC FCD_LCDDis_00048_1_pt,0
BSF gbl_portd,0
BTFSC FCD_LCDDis_00048_1_pt,1
BSF gbl_portd,1
BTFSC FCD_LCDDis_00048_1_pt,2
BSF gbl_portd,2
BTFSC FCD_LCDDis_00048_1_pt,3
BSF gbl_portd,3
MOVF FCD_LCDDis_00048_arg_mask, F
BTFSS STATUS,Z
BSF gbl_portd,5
MOVLW 0x0A
MOVWF delay_10us_00000_arg_del
CALL delay_10us_00000
BSF gbl_portd,4
MOVLW 0x0A
MOVWF delay_10us_00000_arg_del
CALL delay_10us_00000
BCF gbl_portd,4
MOVLW 0x0A
MOVWF delay_10us_00000_arg_del
CALL delay_10us_00000
RETURN
; } FCD_LCDDisplay0_RawSend function end

```

```

ORG 0x000000A4
FCD_SWITCH_0005A
; { FCD_SWITCH2_ReadState ; function begin
BSF STATUS, RP0
BCF STATUS, RP1

```

```

        BSF gbl_trisb,6
        MOVLW 0x02
        BCF STATUS, RP0
        MOVWF delay_us_00000_arg_del
        CALL delay_us_00000
        BTFSS gbl_portb,6
        GOTO label9
        MOVLW 0x01
        MOVWF FCD_SWITCH_0005A_1_switchval
        GOTO label10
label9
        CLRF FCD_SWITCH_0005A_1_switchval
label10
        MOVF FCD_SWITCH_0005A_1_switchval, W
        MOVWF CompTempVarRet2236
        RETURN
; } FCD_SWITCH2_ReadState function end

```

```

        ORG 0x000000B4
FCD_SWITCH1_00057
; { FCD_SWITCH1_ReadState ; function begin
        BSF STATUS, RP0
        BCF STATUS, RP1
        BSF gbl_trisb,5
        MOVLW 0x02
        BCF STATUS, RP0
        MOVWF delay_us_00000_arg_del
        CALL delay_us_00000
        BTFSS gbl_portb,5
        GOTO label11
        MOVLW 0x01
        MOVWF FCD_SWITCH_00057_1_switchval
        GOTO label12
label11
        CLRF FCD_SWITCH_00057_1_switchval
label12
        MOVF FCD_SWITCH_00057_1_switchval, W
        MOVWF CompTempVarRet2235
        RETURN
; } FCD_SWITCH1_ReadState function end

```

```

        ORG 0x000000C4
FCD_SWITCH_00054
; { FCD_SWITCH0_ReadState ; function begin
        BSF STATUS, RP0
        BCF STATUS, RP1
        BSF gbl_trisb,4
        MOVLW 0x02
        BCF STATUS, RP0
        MOVWF delay_us_00000_arg_del
        CALL delay_us_00000
        BTFSS gbl_portb,4
        GOTO label13
        MOVLW 0x01
        MOVWF FCD_SWITCH_00054_1_switchval
        GOTO label14
label13
        CLRF FCD_SWITCH_00054_1_switchval
label14
        MOVF FCD_SWITCH_00054_1_switchval, W
        MOVWF CompTempVarRet2234
        RETURN
; } FCD_SWITCH0_ReadState function end

```

```

        ORG 0x000000D4
FCD_LCDDis_0004F
; { FCD_LCDDisplay0_PrintString ; function begin
        CLRF FCD_LCDDis_0004F_1_idx
        CLRF FCD_LCDDis_0004F_1_idx
label15

```

```

MOVWF FCD_LCDDis_0004F_arg_MSZ_String, W
SUBWF FCD_LCDDis_0004F_1_idx, W
BTFSC STATUS, C
RETURN
BCF STATUS, IRP
BTFSC FCD_LCDDis_0004F_arg_String+D'1', 0
BSF STATUS, IRP
MOVWF FCD_LCDDis_0004F_arg_String, W
ADDWF FCD_LCDDis_0004F_1_idx, W
MOVWF FSR
MOVWF INDF, F
BTFSC STATUS, Z
RETURN
BCF STATUS, IRP
BTFSC FCD_LCDDis_0004F_arg_String+D'1', 0
BSF STATUS, IRP
MOVWF FCD_LCDDis_0004F_arg_String, W
ADDWF FCD_LCDDis_0004F_1_idx, W
MOVWF FSR
MOVWF INDF, W
MOVWF FCD_LCDDis_00048_arg_in
MOVLW 0x10
MOVWF FCD_LCDDis_00048_arg_mask
CALL FCD_LCDDis_00048
INCF FCD_LCDDis_0004F_1_idx, F
GOTO label15
; } FCD_LCDDisplay0_PrintString function end

```

```

ORG 0x000000F0
FCD_LCDDis_0004E
; { FCD_LCDDisplay0_PrintNumber ; function begin
BTFSS FCD_LCDDis_0004E_arg_Number+D'1', 7
GOTO label16
MOVLW 0x2D
MOVWF FCD_LCDDis_00048_arg_in
MOVLW 0x10
MOVWF FCD_LCDDis_00048_arg_mask
CALL FCD_LCDDis_00048
MOVWF FCD_LCDDis_0004E_arg_Number, W
SUBLW 0x00
MOVWF CompTempVar2206
COMF FCD_LCDDis_0004E_arg_Number+D'1', F
BTFSC STATUS, C
INCF FCD_LCDDis_0004E_arg_Number+D'1', F
MOVWF CompTempVar2206, W
MOVWF FCD_LCDDis_0004E_arg_Number
label16
MOVWF FCD_LCDDis_0004E_arg_Number, W
MOVWF FCD_LCDDis_0004E_1_tmp_int
MOVWF FCD_LCDDis_0004E_arg_Number+D'1', W
MOVWF FCD_LCDDis_0004E_1_tmp_int+D'1'
MOVLW 0x27
SUBWF FCD_LCDDis_0004E_arg_Number+D'1', W
BTFSS STATUS, Z
GOTO label17
MOVLW 0x10
SUBWF FCD_LCDDis_0004E_arg_Number, W
label17
BTFSS STATUS, C
GOTO label21
BTFSC FCD_LCDDis_0004E_arg_Number+D'1', 7
GOTO label21
CLRF CompTempVar2209
MOVWF FCD_LCDDis_0004E_1_tmp_int, W
MOVWF __div_16_1_00003_arg_a
MOVWF FCD_LCDDis_0004E_1_tmp_int+D'1', W
MOVWF __div_16_1_00003_arg_a+D'1'
BTFSS FCD_LCDDis_0004E_1_tmp_int+D'1', 7
GOTO label18
COMF __div_16_1_00003_arg_a, F

```

```

    COMF __div_16_1_00003_arg_a+D'1', F
    INCF __div_16_1_00003_arg_a, F
    BTFSC STATUS,Z
    INCF __div_16_1_00003_arg_a+D'1', F
    INCF CompTempVar2209, F
label18
    MOVLW 0x10
    MOVWF __div_16_1_00003_arg_b
    MOVLW 0x27
    MOVWF __div_16_1_00003_arg_b+D'1'
    CALL __div_16_1_00003
    MOVF CompTempVarRet243, W
    MOVWF FCD_LCDDis_0004E_1_tmp_byte
    BTFSS CompTempVar2209,0
    GOTO label19
    COMF FCD_LCDDis_0004E_1_tmp_byte, F
    INCF FCD_LCDDis_0004E_1_tmp_byte, F
label19
    MOVF FCD_LCDDis_0004E_1_tmp_byte, W
    ADDLW 0x30
    MOVWF FCD_LCDDis_00048_arg_in
    MOVLW 0x10
    MOVWF FCD_LCDDis_00048_arg_mask
    CALL FCD_LCDDis_00048
label20
    MOVF FCD_LCDDis_0004E_1_tmp_byte, W
    SHIFLW 0x00
    BTFSC STATUS,C
    GOTO label21
    MOVLW 0x10
    SUBWF FCD_LCDDis_0004E_1_tmp_int, F
    MOVLW 0x27
    BTFSS STATUS,C
    MOVLW 0x28
    SUBWF FCD_LCDDis_0004E_1_tmp_int+D'1', F
    DECF FCD_LCDDis_0004E_1_tmp_byte, F
    GOTO label20
label21
    MOVLW 0x03
    SUBWF FCD_LCDDis_0004E_arg_Number+D'1', W
    BTFSS STATUS,Z
    GOTO label22
    MOVLW 0xE8
    SUBWF FCD_LCDDis_0004E_arg_Number, W
label22
    BTFSS STATUS,C
    GOTO label26
    BTFSC FCD_LCDDis_0004E_arg_Number+D'1',7
    GOTO label26
    CLRF CompTempVar2213
    MOVF FCD_LCDDis_0004E_1_tmp_int, W
    MOVWF __div_16_1_00003_arg_a
    MOVF FCD_LCDDis_0004E_1_tmp_int+D'1', W
    MOVWF __div_16_1_00003_arg_a+D'1'
    BTFSS FCD_LCDDis_0004E_1_tmp_int+D'1',7
    GOTO label23
    COMF __div_16_1_00003_arg_a, F
    COMF __div_16_1_00003_arg_a+D'1', F
    INCF __div_16_1_00003_arg_a, F
    BTFSC STATUS,Z
    INCF __div_16_1_00003_arg_a+D'1', F
    INCF CompTempVar2213, F
label23
    MOVLW 0xE8
    MOVWF __div_16_1_00003_arg_b
    MOVLW 0x03
    MOVWF __div_16_1_00003_arg_b+D'1'
    CALL __div_16_1_00003
    MOVF CompTempVarRet243, W
    MOVWF CompTempVar2212

```

```

    BTFSS CompTempVar2213,0
    GOTO label24
    COMF CompTempVar2212, F
    INCF CompTempVar2212, F
label24
    MOVF CompTempVar2212, W
    MOVWF FCD_LCDDis_0004E_1_tmp_byte
    MOVF FCD_LCDDis_0004E_1_tmp_byte, W
    ADDLW 0x30
    MOVWF FCD_LCDDis_00048_arg_in
    MOVLW 0x10
    MOVWF FCD_LCDDis_00048_arg_mask
    CALL FCD_LCDDis_00048
label25
    MOVF FCD_LCDDis_0004E_1_tmp_byte, W
    SUBLW 0x00
    BTFSC STATUS,C
    GOTO label26
    MOVLW 0xE8
    SUBWF FCD_LCDDis_0004E_1_tmp_int, F
    MOVLW 0x03
    BTFSS STATUS,C
    MOVLW 0x04
    SUBWF FCD_LCDDis_0004E_1_tmp_int+D'1', F
    DECF FCD_LCDDis_0004E_1_tmp_byte, F
    GOTO label25
label26
    MOVF FCD_LCDDis_0004E_arg_Number+D'1', W
    XORLW 0x80
    MOVWF CompTempVar2216
    MOVLW 0x80
    SUBWF CompTempVar2216, W
    BTFSS STATUS,Z
    GOTO label27
    MOVLW 0x64
    SUBWF FCD_LCDDis_0004E_arg_Number, W
label27
    BTFSS STATUS,C
    GOTO label31
    CLRF CompTempVar2218
    MOVF FCD_LCDDis_0004E_1_tmp_int, W
    MOVWF __div_16_1_00003_arg_a
    MOVF FCD_LCDDis_0004E_1_tmp_int+D'1', W
    MOVWF __div_16_1_00003_arg_a+D'1'
    BTFSS FCD_LCDDis_0004E_1_tmp_int+D'1',7
    GOTO label28
    COMF __div_16_1_00003_arg_a, F
    COMF __div_16_1_00003_arg_a+D'1', F
    INCF __div_16_1_00003_arg_a, F
    BTFSC STATUS,Z
    INCF __div_16_1_00003_arg_a+D'1', F
    INCF CompTempVar2218, F
label28
    MOVLW 0x64
    MOVWF __div_16_1_00003_arg_b
    CLRF __div_16_1_00003_arg_b+D'1'
    CALL __div_16_1_00003
    MOVF CompTempVarRet243, W
    MOVWF CompTempVar2217
    BTFSS CompTempVar2218,0
    GOTO label29
    COMF CompTempVar2217, F
    INCF CompTempVar2217, F
label29
    MOVF CompTempVar2217, W
    MOVWF FCD_LCDDis_0004E_1_tmp_byte
    MOVF FCD_LCDDis_0004E_1_tmp_byte, W
    ADDLW 0x30
    MOVWF FCD_LCDDis_00048_arg_in
    MOVLW 0x10

```

```

MOVWF FCD_LCDDis_00048_arg_mask
CALL FCD_LCDDis_00048
label30
MOVWF FCD_LCDDis_0004E_1_tmp_byte, W
SUBLW 0x00
BTFSC STATUS,C
GOTO label31
MOVLW 0x64
SUBWF FCD_LCDDis_0004E_1_tmp_int, F
MOVWF FCD_LCDDis_0004E_1_tmp_int+D'1', F
BTFSS STATUS,C
DECWF FCD_LCDDis_0004E_1_tmp_int+D'1', F
DECWF FCD_LCDDis_0004E_1_tmp_byte, F
GOTO label30
label31
MOVWF FCD_LCDDis_0004E_arg_Number+D'1', W
XORLW 0x80
MOVWF CompTempVar2221
MOVLW 0x80
SUBWF CompTempVar2221, W
BTFSS STATUS,Z
GOTO label32
MOVLW 0x0A
SUBWF FCD_LCDDis_0004E_arg_Number, W
label32
BTFSS STATUS,C
GOTO label36
CLRF CompTempVar2223
MOVWF FCD_LCDDis_0004E_1_tmp_int, W
MOVWF __div_16_1_00003_arg_a
MOVWF FCD_LCDDis_0004E_1_tmp_int+D'1', W
MOVWF __div_16_1_00003_arg_a+D'1'
BTFSS FCD_LCDDis_0004E_1_tmp_int+D'1',7
GOTO label33
COMF __div_16_1_00003_arg_a, F
COMF __div_16_1_00003_arg_a+D'1', F
INCF __div_16_1_00003_arg_a, F
BTFSC STATUS,Z
INCF __div_16_1_00003_arg_a+D'1', F
INCF CompTempVar2223, F
label33
MOVLW 0x0A
MOVWF __div_16_1_00003_arg_b
CLRF __div_16_1_00003_arg_b+D'1'
CALL __div_16_1_00003
MOVWF CompTempVarRet243, W
MOVWF CompTempVar2222
BTFSS CompTempVar2223,0
GOTO label34
COMF CompTempVar2222, F
INCF CompTempVar2222, F
label34
MOVWF CompTempVar2222, W
MOVWF FCD_LCDDis_0004E_1_tmp_byte
MOVWF FCD_LCDDis_0004E_1_tmp_byte, W
ADDLW 0x30
MOVWF FCD_LCDDis_00048_arg_in
MOVLW 0x10
MOVWF FCD_LCDDis_00048_arg_mask
CALL FCD_LCDDis_00048
label35
MOVWF FCD_LCDDis_0004E_1_tmp_byte, W
SUBLW 0x00
BTFSC STATUS,C
GOTO label36
MOVLW 0x0A
SUBWF FCD_LCDDis_0004E_1_tmp_int, F
MOVWF FCD_LCDDis_0004E_1_tmp_int+D'1', F
BTFSS STATUS,C
DECWF FCD_LCDDis_0004E_1_tmp_int+D'1', F

```



```

        DECF FCD_LCDDis_0004E_1_tmp_byte, F
        GOTO label35
label36
        MOVF FCD_LCDDis_0004E_1_tmp_int, W
        ADDLW 0x30
        MOVWF FCD_LCDDis_00048_arg_in
        MOVLW 0x10
        MOVWF FCD_LCDDis_00048_arg_mask
        CALL FCD_LCDDis_00048
        RETURN
; } FCD_LCDDisplay0_PrintNumber function end

```

```

        ORG 0x000001DE
FCD_LCDDis_0004D
; { FCD_LCDDisplay0_Cursor ; function begin
        MOVF FCD_LCDDis_0004D_arg_y, F
        BTFSS STATUS,Z
        GOTO label37
        MOVLW 0x80
        MOVWF FCD_LCDDis_0004D_arg_y
        GOTO label38

```

```

label37
        MOVLW 0xC0
        MOVWF FCD_LCDDis_0004D_arg_y

```

```

label38
        MOVF FCD_LCDDis_0004D_arg_x, W
        ADDWF FCD_LCDDis_0004D_arg_y, W
        MOVWF FCD_LCDDis_00048_arg_in
        CLRF FCD_LCDDis_00048_arg_mask
        CALL FCD_LCDDis_00048
        MOVLW 0x02
        MOVWF Wdt_Delay__00047_arg_delay
        CLRF Wdt_Delay__00047_arg_delay+D'1'
        CALL Wdt_Delay__00047
        RETURN
; } FCD_LCDDisplay0_Cursor function end

```

```

        ORG 0x000001F0
FCD_LCDDis_00049
; { FCD_LCDDisplay0_Start ; function begin
        BSF STATUS, RP0
        BCF STATUS, RP1
        BCF gbl_trisd,0
        BCF gbl_trisd,1
        BCF gbl_trisd,2
        BCF gbl_trisd,3
        BCF gbl_trisd,5
        BCF gbl_trisd,4
        MOVLW 0x0C
        BCF STATUS, RP0
        MOVWF Wdt_Delay__00047_arg_delay
        CLRF Wdt_Delay__00047_arg_delay+D'1'
        CALL Wdt_Delay__00047
        MOVLW 0x33
        MOVWF FCD_LCDDis_00048_arg_in
        CLRF FCD_LCDDis_00048_arg_mask
        CALL FCD_LCDDis_00048
        MOVLW 0x02
        MOVWF Wdt_Delay__00047_arg_delay
        CLRF Wdt_Delay__00047_arg_delay+D'1'
        CALL Wdt_Delay__00047
        MOVLW 0x33
        MOVWF FCD_LCDDis_00048_arg_in
        CLRF FCD_LCDDis_00048_arg_mask
        CALL FCD_LCDDis_00048
        MOVLW 0x02
        MOVWF Wdt_Delay__00047_arg_delay
        CLRF Wdt_Delay__00047_arg_delay+D'1'
        CALL Wdt_Delay__00047
        MOVLW 0x32

```

```

MOVWF FCD_LCDDis_00048_arg_in
CLRF FCD_LCDDis_00048_arg_mask
CALL FCD_LCDDis_00048
MOVLW 0x02
MOVWF Wdt_Delay_00047_arg_delay
CLRF Wdt_Delay_00047_arg_delay+D'1'
CALL Wdt_Delay_00047
MOVLW 0x2C
MOVWF FCD_LCDDis_00048_arg_in
CLRF FCD_LCDDis_00048_arg_mask
CALL FCD_LCDDis_00048
MOVLW 0x02
MOVWF Wdt_Delay_00047_arg_delay
CLRF Wdt_Delay_00047_arg_delay+D'1'
CALL Wdt_Delay_00047
MOVLW 0x06
MOVWF FCD_LCDDis_00048_arg_in
CLRF FCD_LCDDis_00048_arg_mask
CALL FCD_LCDDis_00048
MOVWF Wdt_Delay_00047_arg_delay
CLRF Wdt_Delay_00047_arg_delay+D'1'
CALL Wdt_Delay_00047
MOVLW 0x0C
MOVWF FCD_LCDDis_00048_arg_in
CLRF FCD_LCDDis_00048_arg_mask
CALL FCD_LCDDis_00048
MOVLW 0x02
MOVWF Wdt_Delay_00047_arg_delay
CLRF Wdt_Delay_00047_arg_delay+D'1'
CALL Wdt_Delay_00047
MOVLW 0x01
MOVWF FCD_LCDDis_00048_arg_in
CLRF FCD_LCDDis_00048_arg_mask
CALL FCD_LCDDis_00048
MOVLW 0x02
MOVWF Wdt_Delay_00047_arg_delay
CLRF Wdt_Delay_00047_arg_delay+D'1'
CALL Wdt_Delay_00047
MOVLW 0x02
MOVWF FCD_LCDDis_00048_arg_in
CLRF FCD_LCDDis_00048_arg_mask
CALL FCD_LCDDis_00048
MOVLW 0x02
MOVWF Wdt_Delay_00047_arg_delay
CLRF Wdt_Delay_00047_arg_delay+D'1'
CALL Wdt_Delay_00047
RETURN
; } FCD_LCDDisplay0_Start function end

```

```

ORG 0x0000023E

```

```

main
; { main ; function begin
    MOVLW 0x07
    BSF STATUS, RP0
    BCF STATUS, RP1
    MOVWF gbl_adcon1
    MOVLW 0xC0
    MOVWF gbl_option_reg
    BCF STATUS, RP0
    CLRF gbl_FCV_X
    CALL FCD_LCDDis_00049
label39
    CALL FCD_SWITCH_00054
    MOVF CompTempVarRet2234, W
    MOVWF gbl_FCV_G1
    CALL FCD_SWITCH_00057
    MOVF CompTempVarRet2235, W
    MOVWF gbl_FCV_G2
    CALL FCD_SWITCH_0005A

```

```

MOVF CompTempVarRet2236, W
MOVWF gbl_FCV_G3
DECf gbl_FCV_G1, W
BTFSS STATUS,Z
GOTO label41
CLRf FCD_LCDDis_0004D_arg_x
CLRf FCD_LCDDis_0004D_arg_y
CALL FCD_LCDDis_0004D
MOVLW 0x20
MOVWF CompTempVar2237+D'7'
MOVWF CompTempVar2237+D'10'
MOVLW 0x31
MOVWF CompTempVar2237+D'11'
MOVLW 0x47
MOVWF CompTempVar2237
MOVLW 0x4E
MOVWF CompTempVar2237+D'8'
MOVLW 0x63
MOVWF CompTempVar2237+D'3'
MOVLW 0x65
MOVWF CompTempVar2237+D'5'
MOVLW 0x68
MOVWF CompTempVar2237+D'4'
MOVLW 0x69
MOVWF CompTempVar2237+D'2'
MOVLW 0x74
MOVWF CompTempVar2237+D'6'
MOVLW 0x75
MOVWF CompTempVar2237+D'1'
MOVLW 0xB0
MOVWF CompTempVar2237+D'9'
CLRf CompTempVar2237+D'12'
MOVLW HIGH(CompTempVar2237+D'0')
MOVWF FCD_LCDDis_0004F_arg_String+D'1'
MOVLW LOW(CompTempVar2237+D'0')
MOVWF FCD_LCDDis_0004F_arg_String
MOVLW 0x0C
MOVWF FCD_LCDDis_0004F_arg_MSZ_String
CALL FCD_LCDDis_0004F
INCF gbl_FCV_X, W
MOVWF gbl_FCV_X
CLRf FCD_LCDDis_0004D_arg_x
MOVLW 0x01
MOVWF FCD_LCDDis_0004D_arg_y
CALL FCD_LCDDis_0004D
MOVLW 0x20
MOVWF CompTempVar2239+D'6'
MOVWF CompTempVar2239+D'10'
MOVLW 0x3A
MOVWF CompTempVar2239+D'9'
MOVLW 0x43
MOVWF CompTempVar2239
MOVLW 0x4E
MOVWF CompTempVar2239+D'7'
MOVLW 0x65
MOVWF CompTempVar2239+D'3'
MOVLW 0x69
MOVWF CompTempVar2239+D'2'
MOVLW 0x6C
MOVWF CompTempVar2239+D'1'
MOVLW 0x6E
MOVWF CompTempVar2239+D'4'
MOVLW 0x74
MOVWF CompTempVar2239+D'5'
MOVLW 0xB0
MOVWF CompTempVar2239+D'8'
CLRf CompTempVar2239+D'11'
MOVLW HIGH(CompTempVar2239+D'0')
MOVWF FCD_LCDDis_0004F_arg_String+D'1'
MOVLW LOW(CompTempVar2239+D'0')

```

```

MOVWF FCD_LCDDis_0004F_arg_String
MOVLW 0x0B
MOVWF FCD_LCDDis_0004F_arg_MSZ_String
CALL FCD_LCDDis_0004F
MOVF gbl_FCV_X, W
MOVWF FCD_LCDDis_0004E_arg_Number
CLRF FCD_LCDDis_0004E_arg_Number+D'1'
CALL FCD_LCDDis_0004E

label40
CALL FCD_SWITCH_00054
MOVF CompTempVarRet2234, W
MOVWF gbl_FCV_G1
DECF gbl_FCV_G1, W
BTFSC STATUS,Z
GOTO label40
GOTO label39

label41
DECF gbl_FCV_G2, W
DTF33 STATUS,Z
GOTO label43
CLRF FCD_LCDDis_0004D_arg_x
CLRF FCD_LCDDis_0004D_arg_y
CALL FCD_LCDDis_0004D
MOVLW 0x20
MOVWF CompTempVar2241+D'7'
MOVWF CompTempVar2241+D'10'
MOVLW 0x32
MOVWF CompTempVar2241+D'11'
MOVLW 0x47
MOVWF CompTempVar2241
MOVLW 0x4E
MOVWF CompTempVar2241+D'8'
MOVLW 0x63
MOVWF CompTempVar2241+D'3'
MOVLW 0x65
MOVWF CompTempVar2241+D'5'
MOVLW 0x68
MOVWF CompTempVar2241+D'4'
MOVLW 0x69
MOVWF CompTempVar2241+D'2'
MOVLW 0x74
MOVWF CompTempVar2241+D'6'
MOVLW 0x75
MOVWF CompTempVar2241+D'1'
MOVLW 0xB0
MOVWF CompTempVar2241+D'9'
CLRF CompTempVar2241+D'12'
MOVLW HIGH(CompTempVar2241+D'0')
MOVWF FCD_LCDDis_0004F_arg_String+D'1'
MOVLW LOW(CompTempVar2241+D'0')
MOVWF FCD_LCDDis_0004F_arg_String
MOVLW 0x0C
MOVWF FCD_LCDDis_0004F_arg_MSZ_String
CALL FCD_LCDDis_0004F
INCF gbl_FCV_X, W
MOVWF gbl_FCV_X
CLRF FCD_LCDDis_0004D_arg_x
MOVLW 0x01
MOVWF FCD_LCDDis_0004D_arg_y
CALL FCD_LCDDis_0004D
MOVLW 0x20
MOVWF CompTempVar2243+D'6'
MOVWF CompTempVar2243+D'10'
MOVLW 0x3A
MOVWF CompTempVar2243+D'9'
MOVLW 0x43
MOVWF CompTempVar2243
MOVLW 0x4E
MOVWF CompTempVar2243+D'7'
MOVLW 0x65

```

```

MOVWF CompTempVar2243+D'3'
MOVLW 0x69
MOVWF CompTempVar2243+D'2'
MOVLW 0x6C
MOVWF CompTempVar2243+D'1'
MOVLW 0x6E
MOVWF CompTempVar2243+D'4'
MOVLW 0x74
MOVWF CompTempVar2243+D'5'
MOVLW 0xB0
MOVWF CompTempVar2243+D'8'
CLRF CompTempVar2243+D'11'
MOVLW HIGH(CompTempVar2243+D'0')
MOVWF FCD_LCDDis_0004F_arg_String+D'1'
MOVLW LOW(CompTempVar2243+D'0')
MOVWF FCD_LCDDis_0004F_arg_String
MOVLW 0x0B
MOVWF FCD_LCDDis_0004F_arg_MSZ_String
CALL FCD_LCDDis_0004F
MOVF gbl_FCV_X, W
MOVWF FCD_LCDDis_0004E_arg_Number
CLRF FCD_LCDDis_0004E_arg_Number+D'1'
CALL FCD_LCDDis_0004E

```

label42

```

CALL FCD_SWITCH_00057
MOVF CompTempVarRet2235, W
MOVWF gbl_FCV_17
DECF gbl_FCV_G2, W
BTFS STATUS,Z
GOTO label42
GOTO label39

```

label43

```

DECF gbl_FCV_G3, W
BTFS STATUS,Z
GOTO label39
CLRF FCD_LCDDis_0004D_arg_x
CLRF FCD_LCDDis_0004D_arg_y
CALL FCD_LCDDis_0004D
MOVLW 0x20
MOVWF CompTempVar2245+D'7'
MOVWF CompTempVar2245+D'10'
MOVLW 0x33
MOVWF CompTempVar2245+D'11'
MOVLW 0x47
MOVWF CompTempVar2245
MOVLW 0x4E
MOVWF CompTempVar2245+D'8'
MOVLW 0x63
MOVWF CompTempVar2245+D'3'
MOVLW 0x65
MOVWF CompTempVar2245+D'5'
MOVLW 0x68
MOVWF CompTempVar2245+D'4'
MOVLW 0x69
MOVWF CompTempVar2245+D'2'
MOVLW 0x74
MOVWF CompTempVar2245+D'6'
MOVLW 0x75
MOVWF CompTempVar2245+D'1'
MOVLW 0xB0
MOVWF CompTempVar2245+D'9'
CLRF CompTempVar2245+D'12'
MOVLW HIGH(CompTempVar2245+D'0')
MOVWF FCD_LCDDis_0004F_arg_String+D'1'
MOVLW LOW(CompTempVar2245+D'0')
MOVWF FCD_LCDDis_0004F_arg_String
MOVLW 0x0C
MOVWF FCD_LCDDis_0004F_arg_MSZ_String
CALL FCD_LCDDis_0004F
INCF gbl_FCV_X, W

```

```

MOVWF gbl_FCV_X
CLRF FCD_LCDDis_0004D_arg_x
MOVLW 0x01
MOVWF FCD_LCDDis_0004D_arg_y
CALL FCD_LCDDis_0004D
MOVLW 0x20
MOVWF CompTempVar2247+D'6'
MOVWF CompTempVar2247+D'10'
MOVLW 0x3A
MOVWF CompTempVar2247+D'9'
MOVLW 0x43
MOVWF CompTempVar2247
MOVLW 0x4E
MOVWF CompTempVar2247+D'7'
MOVLW 0x65
MOVWF CompTempVar2247+D'3'
MOVLW 0x69
MOVWF CompTempVar2247+D'2'
MOVLW 0x6C
MOVWF CompTempVar2247+D'1'
MOVLW 0x6E
MOVWF CompTempVar2247+D'4'
MOVLW 0x74
MOVWF CompTempVar2247+D'5'
MOVLW 0xB0
MOVWF CompTempVar2247+D'8'
CLRF CompTempVar2247+D'11'
MOVLW HIGH(CompTempVar2247+D'0')
MOVWF FCD_LCDDis_0004F_arg_String+D'1'
MOVLW LOW(CompTempVar2247+D'0')
MOVWF FCD_LCDDis_0004F_arg_String
MOVLW 0x0B
MOVWF FCD_LCDDis_0004F_arg_MSZ_String
CALL FCD_LCDDis_0004F
MOVF gbl_FCV_X, W
MOVWF FCD_LCDDis_0004E_arg_Number
CLRF FCD_LCDDis_0004E_arg_Number+D'1'
CALL FCD_LCDDis_0004E
label44
CALL FCD_SWITCH_0005A
MOVF CompTempVarRet2236, W
MOVWF gbl_FCV_G3
DECF gbl_FCV_G3, W
BTFSC STATUS,Z
GOTO label44
GOTO label39
; } main function end

_startup
ORG 0x00000349
MOVLW 0xD5
BCF STATUS, RP0
BCF STATUS, RP1
MOVWF gbl_16_LSR
MOVLW 0xC4
MOVWF gbl_16_LSR+D'1'
MOVLW 0xBB
MOVWF gbl_16_LSR+D'2'
MOVLW 0xDC
MOVWF gbl_16_LSR+D'3'
CLRF gbl_17_gbl_aSig
CLRF gbl_17_gbl_aSig+D'1'
CLRF gbl_17_gbl_aSig+D'2'
CLRF gbl_17_gbl_aSig+D'3'
CLRF gbl_17_gbl_bSig
CLRF gbl_17_gbl_bSig+D'1'
CLRF gbl_17_gbl_bSig+D'2'
CLRF gbl_17_gbl_bSig+D'3'
CLRF gbl_17_gbl_zSig
CLRF gbl_17_gbl_zSig+D'1'

```

```

CLRF gbl_17_gbl_zSig+D'2'
CLRF gbl_17_gbl_zSig+D'3'
CLRF gbl_17_gbl_aExp
CLRF gbl_17_gbl_bExp
CLRF gbl_17_gbl_zExp
CLRF gbl_17_gbl_zExp+D'1'
CLRF gbl_17_gbl_aSign
CLRF gbl_17_gbl_bSign
CLRF gbl_17_gbl_zSign
CLRF gbl_17_gbl_zSigZero
CLRF gbl_17_gbl_ret
CLRF gbl_17_gbl_ret+D'1'
CLRF gbl_17_gbl_ret+D'2'
CLRF gbl_17_gbl_ret+D'3'
CLRF gbl_float_rounding_mode
CLRF gbl_float_exception_flags
CLRF gbl_float_detect_tinness
BCF PCLATH,3
BCF PCLATH,4
GOTO main
ORG 0x00000371

interrupt
; { interrupt : function begin
    BCF STATUS, RP0
    BCF STATUS, RP1
    SWAPF Int1BContext+D'2', W
    MOVWF FSR
    SWAPF Int1BContext+D'1', W
    MOVWF PCLATH
    SWAPF Int1BContext, W
    MOVWF STATUS
    SWAPF Int1Context, F
    SWAPF Int1Context, W
    RETFIE
; } interrupt function end

    ORG 0x00002007
    DW 0x3F39
    END

```